

МІНІСТЕРСТВО ОСВІТИ І НАУКИ УКРАЇНИ  
СУМСЬКИЙ ДЕРЖАВНИЙ УНІВЕРСИТЕТ  
КАФЕДРА ЕЛЕКТРОЕНЕРГЕТИКИ

## **КВАЛІФІКАЦІЙНА РОБОТА БАКАЛАВРА**

на тему:

«Вибір обладнання високовольтних електричних мереж та засобів  
захисту від ураження блискавкою»

Спеціальність 6.141 «Електроенергетика, електротехніка та електромеханіка»

Виконав

студент гр. ЕТдн-61Гл

\_\_\_\_\_

Є.С. Жотік

Керівник

к.ф.-м.н., доцент

\_\_\_\_\_

М.В. Петровський

Суми 2020

## РЕФЕРАТ

с. 81, рис. 15, табл. 20.

**Бібліографічний опис:** Жотік Є.С. Вибір обладнання високовольтних електричних мереж та засобів захисту від ураження блискавкою [Текст]: робота на здобуття кваліфікаційного ступеня бакалавр; спеціальність 6.141 «Електроенергетика, електротехніка та електромеханіка» / Є.С. Жотік; керівник М.В. Петровський. – Суми: СумДУ, 2020. – 81 с.

### Ключові слова:

лінія електропередавання, трансформатор, напруга, струм, вимикач;  
линия электропередачи, трансформатор, напряжение, ток, выключатель;  
power line, transformer, voltage, current, circuit breaker.

**Об'єкт дослідження:** електрична мережа високої напруги.

### Короткий огляд.

Зроблений розрахунок нормального режиму роботи замкнутої електричної мережі. Обрана напруга мережі, перерізи проводів ліній електропередач, а також типи трансформаторів на підстанціях. Для обраної підстанції проведена перевірка правильності вибору номінальної потужності встановлених трансформаторів. Здійснений вибір високовольтних апаратів розподільчого пристрою, вимірювальних трансформаторів струму та напруги. Для трансформаторів підстанції виконаний розрахунок релейного захисту: поздовжнього диференційного струмового захисту та максимального струмового захисту з комбінованим пуском по напрузі. Проведений розрахунок блискавкоозахисту понижувальної підстанції, що виконаний у вигляді стрижневих блискавковідводів.

Зм.	Аркуш	№ докум.	Підпис	Дата	БР 5.6.14.1.655 ПЗ	Аркуш
-----	-------	----------	--------	------	--------------------	-------

## ЗМІСТ

ВСТУП.....	6
1 РОЗРАХУНОК РЕЖИМІВ РОБОТИ ЕЛЕКТРИЧНОЇ МЕРЕЖІ.....	8
1.1 Вихідні дані для виконання бакалаврської роботи.....	8
1.2 Визначення напруги мережі та вибір типу проводів повітряної лінії .....	9
1.3 Вибір потужності трансформаторів .....	11
1.4 Визначення параметрів схеми заміщення.....	14
1.5 Розрахунок розімкненої мережі.....	15
1.6 Розрахунок замкненої мережі .....	17
1.7 Розрахунок електричної мережі в післяаварійному режимі.....	25
2 РОЗРАХУНОК ЕЛЕКТРИЧНОЇ ЧАСТИНИ ПІДСТАНЦІЇ .....	31
2.1 Вибір силових трансформаторів та їх перевірка за графіком навантаження .	31
2.2 Розрахунок струмів короткого замикання.....	33
2.3 Вибір захисної та комутаційної апаратури.....	36
2.4 Вибір збірних шин.....	39
2.5 Вибір вимірювальних трансформаторів струму та напруги.....	44
2.6 Обґрунтування схеми електричних з'єднань підстанції .....	51
2.7 Вибір трансформаторів власних потреб .....	53
2.8 Компонування розподільних пристройів на боці 110 кВ.....	55
2.9 Компонування розподільних пристройів на боці 10кВ.....	56

Зм.	Арк.	№ докум.	Підпис	Дата	БР 5.6.14.1.655 ПЗ		
Розробив	Жотік Е.С.				Вибір обладнання високовольтних електрических мереж та засобів захисту від ураження блискавкою. Пояснювальна записка.	Літ.	Лист
Керівник	Петровський М.В.					4	81
Консульт.							
Н.контроль							
Завтвр.	Лебединський І.Л.						

3 РОЗРАХУНОК РЕЛЕЙНОГО ЗАХИСТУ ТРАНСФОРМАТОРА .....	57
3.1 Визначення параметрів, необхідних для розрахунку захистів трансформатора .....	57
3.2 Розрахунок поздовжнього диференціального струмового захисту .....	58
3.3 Вибір уставок реле типу ДЗТ-11.....	62
3.4 Розрахунок максимального струмового захисту з комбінованим пуском по напрузі .....	68
4. РОЗРАХУНОК ЗОН ЗАХИСТУ СТРИЖНЕВИХ БЛИСКАВКОВІДВОДІВ ВРП.....	72
ВИСНОВКИ.....	79
СПИСОК ЛІТЕРАТУРИ.....	80

Зм.	Аркуш	№ докум.	Підпис	Дата	Аркуш
					5

## ВСТУП

В умовах безперервного розвитку промисловості країни з'являється усе більше й більше нових підприємств, які вносять вклад у збільшення енергоспоживання. Слід також зауважити, що зі збільшенням числа енергоспоживаючих об'єктів, розширюється щільність географічного розташування споживачів електричної енергії. У зв'язку із цим з'являється потреба в розширенні існуючих мереж і в створенні нових. Зростаюча кількість енергоспоживаючих об'єктів веде до збільшення потужностей, які передаються по електричних мережах. Одним із найголовніших завдань сьогодні є економічне використання існуючого електричного обладнання й розробка нового з поліпшеними параметрами.

Виконання бакалаврської роботи необхідно з метою:

- придбання досвіду аналізу отриманих результатів, формування висновків і публічного захисту виконаної роботи;
- формування навичок використання отриманих знань, під час розв'язання конкретних практичних і науково-технічних задач;
- придбання досвіду виконання технічної документації пояснлюальної записки й креслень відповідно до умов діючих стандартів;
- систематизації, закріплення й поглиблення теоретичних і практичних знань по загальнотехнічних і спеціальних дисциплінах за напрямком професійної підготовки.

У процесі виконання бакалаврської роботи необхідно вирішити такі задачі:

1. За заданими навантаженнями і довжинами ліній вибрati напругу мережі.
  2. За напругами мережі й навантаженнями вибрati тип проводів повітряних ліній.
  3. За напругами мережі й навантаженнями вибрati трансформатори.
  4. Визначити питомі параметри ЛЕП і каталожні дані трансформаторів.
- Виконати розрахунки параметрів схеми заміщення лінії й трансформаторів. Визначити приведені до сторони ВН навантаження трансформаторів (з урахуванням втрат в обмотках трансформаторів).

Зм.	Аркуш	№ докум.	Підпис	Дата	Аркуш	6
					БР 5.6.14 1.655 ПЗ	

5. Скласти розрахункову схему заміщення мережі й визначити розрахункові навантаження вузлів мережі (з урахуванням втрат у гілці намагнічування трансформаторів і реактивної потужності, яка генерується лініями).

6. Виконати розрахунки нормального режиму замкненої мережі (усі лінії включені в роботу) для двох випадків: режим максимального навантаження (задані) і режим мінімального навантаження (прийняти рівною 50% від заданої). Визначити напруги у вузлах мережі, втрати напруги й втрати потужності в мережі. Виконати аналіз отриманих результатів.

7. При необхідності запропонувати способи регулювання напруги у вузлах навантаження.

8. Для обраної підстанції, яка входить до складу розглянутої мережі, виконати перевірку вибору потужності силових трансформаторів, установленіх на підстанції.

9. Розрахувати струми короткого замикання для забезпечення захисту підстанції.

10. Вибрати за умовами роботи високовольтні апарати розподільних пристройів підстанції й перевірити їх на можливість спрацьовування в умовах короткого замикання.

11. Виконати розрахунки релейного захисту високовольтної повітряної лінії, побудувати карту селективності.

12. Провести розрахунок блискавко захисту захисного ВРП.

13. Зробити висновки про результати виконаних розрахунків.

Зм.	Аркуш	№ докум.	Підпис	Дата

# 1 РОЗРАХУНОК РЕЖИМІВ РОБОТИ ЕЛЕКТРИЧНОЇ МЕРЕЖІ

## 1.1 Вихідні дані для виконання бакалаврської роботи

Згідно з отриманим завданням, необхідно розрахувати електричну мережу, однолінійна електрична схема якої наведена на рис. 1.1.

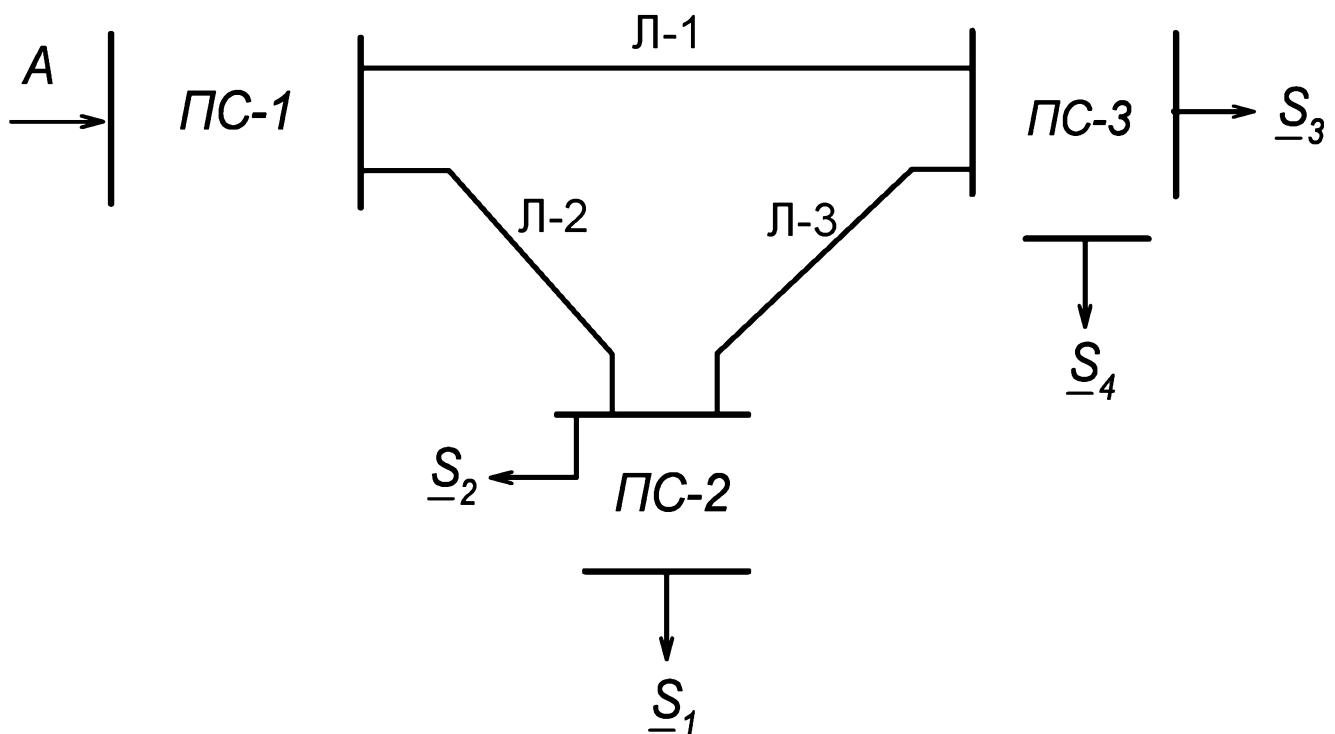


Рисунок 1.1 – Вихідна однолінійна електрична схема з'єднань заданої електричної мережі

Довжини ліній і потужності навантажень електричної мережі наведені в таблиці 1.1.

Таблиця 1.1 – Вихідні дані електричної мережі

Довжина ПЛ, км			Потужності навантажень, МВА			
Л-1	Л-2	Л-3	S <sub>1</sub>	S <sub>2</sub>	S <sub>3</sub>	S <sub>4</sub>
50	50	40	$\frac{30+j15}{I}$	$\frac{70+j60}{II}$	$\frac{15+j35}{II}$	$\frac{45+j15}{III}$

## 1.2 Визначення напруги мережі та вибір типу проводів повітряної лінії

1. Визначаємо потужності в окремих лініях

$$\underline{S}_{\Sigma 2} = \underline{S}_1 + \underline{S}_2 = 100 + j75 \text{ МВА};$$

$$\underline{S}_{\Sigma 3} = \underline{S}_3 + \underline{S}_4 = 60 + j50 \text{ МВА.}$$

$$\underline{S}_{12} = \frac{\underline{S}_{\Sigma 2} \cdot l_{231} + \underline{S}_{\Sigma 3} \cdot l_{31}}{l_{1231}} = \frac{(100 + j75) \cdot 90 + (60 + j50) \cdot 50}{140} = 85,71 + j66,07 \text{ МВА.}$$

$$\underline{S}_{13} = \frac{\underline{S}_{\Sigma 2} \cdot l_{321} + \underline{S}_{\Sigma 1} \cdot l_{21}}{l_{1321}} = \frac{(60 + j50) \cdot 90 + (120 + j95) \cdot 50}{130} = 74,29 + j58,93 \text{ МВА.}$$

$$\underline{S}_{23} = \underline{S}_{12} - \underline{S}_{\Sigma 2} = (85,71 + j66,07) - (100 + j75) = -14,29 - j8,93 \text{ МВА.}$$

2. Виходячи з довжин ліній і величини переданої по них потужності, орієнтовно визначимо напруги окремих ліній по емпіричній формулі Ілларіонова:

$$U_n = \frac{1000}{\sqrt{\frac{500}{L} + \frac{2500}{P_n}}},$$

де  $L$  – довжина лінії, км;

$P_n$  – передана по лінії потужність (на одне коло), МВт.

$$U_{13} = \frac{1000}{\sqrt{\frac{500}{50} + \frac{2500}{74,29}}} = 151,4 \text{ кВ.}$$

$$U_{12} = \frac{1000}{\sqrt{\frac{500}{50} + \frac{2500}{85,71}}} = 159,8 \text{ кВ.}$$

$$U_{23} = \frac{1000}{\sqrt{\frac{500}{40} + \frac{2500}{14,29}}} = 73 \text{ кВ.}$$

Зм.	Аркуш	№ докум.	Підпис	Дата

3. Оскільки для всіх ліній кільцевої мережі бажано мати однакову напругу, то приймаємо напругу  $U_H = 110$  кВ.

Тоді на високій стороні трансформатора ПС-1 номінальна напруга складе 220 кВ.

Для того, щоб забезпечити виконання умови припустимого спадання напруги на самому віддаленому споживачі електроенергії, приймаємо напругу на джерелі живлення, що на 10% перевищує номінальну напругу мережі:  $U_A = 242$  кВ.

4. У якості проводів для всіх ліній приймаємо сталеалюмінієві проводи марки АС.

5. Визначаємо довгостроково припустимі струми в лініях для нормального робочого режиму:

$$I_{13} = \frac{S_{13} \cdot 10^3}{\sqrt{3} \cdot U_H} = \frac{\sqrt{74,29^2 + 58,93^2} \cdot 10^3}{\sqrt{3} \cdot 110} = 498 \text{ A.}$$

$$I_{12} = \frac{S_{12} \cdot 10^3}{\sqrt{3} \cdot U_H} = \frac{\sqrt{85,71^2 + 66,07^2} \cdot 10^3}{\sqrt{3} \cdot 110} = 568 \text{ A.}$$

$$I_{23} = \frac{S_{23} \cdot 10^3}{\sqrt{3} \cdot U_H} = \frac{\sqrt{14,29^2 + 8,93^2} \cdot 10^3}{\sqrt{3} \cdot 110} = 88,4 \text{ A.}$$

6. Користуючись довідковими даними (табл. 1.2, [4]), у відповідності із шкалою стандартних перерізів, а також з урахуванням можливого перевантаження ліній при роботі в аварійному режимі, вибираємо тип проводу дляожної лінії:

для лінії Л-1: АС-240/32;

для лінії Л-2: АС-240/32;

для лінії Л-3: АС-240/32.

7. Перевіряємо обрані проводи в лініях за умовою корони.

Згідно Правил, мінімально допустимий переріз по короні для ліній напругою 110 кВ становить  $70 \text{ mm}^2$ .

Зм.	Аркуш	№ докум.	Підпис	Дата

Таким чином, для кожної з ліній ця умова виконана.

8. Характеристики проводів повітряної лінії наведені в табл. 1.2.

Таблиця 1.2 – Каталожні дані проводів повітряної лінії

Параметри	Марка проводу
	AC-240/32
<i>Каталожні дані</i>	
Переріз проводу, $\text{мм}^2$	240/32
Довгостроково припустимий струм, А	605
<i>Розрахункові дані</i>	
Питомий активний опір лінії при температурі $+20^\circ\text{C}$ , $r_0$ ( $\text{Ом}/\text{км}$ )	0,12
Питомий реактивний опір, $x_0$ ( $\text{Ом}/\text{км}$ )	0,405
Питома ємнісна провідність лінії, $b_0 \cdot 10^{-6}$ ( $\text{См}/\text{км}$ )	2,81

### 1.3 Вибір потужності трансформаторів

1. Для підстанції ПС-1, яка має навантаження  $S_{\Sigma 1} = S_1 + S_2 + S_3 + S_4 = 160 + j125 \text{ МВА}$ , приймаємо установку 2 трансформаторів з напругою на високій стороні 220 кВ, потужністю:

$$S_{T1} \geq \frac{S_{\Sigma 1}}{1,4} = \frac{\sqrt{160^2 + 125^2}}{1,4} = 145,03 \text{ МВА.}$$

По табл. 1.4.7 [4] вибираємо автотрансформатор загального призначення типу АТДЦТН-200000/220/110.

2. Коєфіцієнт завантаження його в нормальному режимі:

$$k_{31} = \frac{S_{\max}}{S_T} = \frac{\sqrt{160^2 + 125^2}}{2 \cdot 200} = 0,51.$$

3. Для підстанції ПС-2, яка має навантаження  $S_1 = 30 + j15 \text{ МВА}$ , зважаючи на те, що її споживачі відносяться до I категорії надійності електропостачання,

Зм.	Аркуш	№ докум.	Підпис	Дата	Аркуш
					БР 5.6.14.1.655 ПЗ

приймаємо установку 2 двохобмоткових трансформаторів з напругою на високій стороні 110 кВ.

$$S_{T_2} \geq \frac{\underline{S}_1}{1,4} = \frac{\sqrt{30^2 + 15^2}}{1,4} = 23,96 \text{ МВА.}$$

По табл. 1.4.2 [4] вибираємо автотрансформатор загального призначення типу ТРДН-25000/110.

4. Коефіцієнт завантаження трансформаторів у нормальному режимі:

$$k_{32} = \frac{S_{\max}}{S_T} = \frac{\sqrt{30^2 + 15^2}}{2 \cdot 25} = 0,67.$$

Умови виконуються.

5. Для підстанції ПС-3 яка має навантаження  $\underline{S}_{\Sigma 2} = 60 + j50 \text{ МВА}$  та напруга на високій стороні 110 кВ, зважаючи на те, що її споживачі відносяться до II та III категорії надійності електропостачання, приймаємо установку 1 трьохобмоткового трансформатора потужністю:

$$S_{T_3} \geq \underline{S}_{\Sigma 2} = \sqrt{60^2 + 50^2} = 78,1 \text{ МВА.}$$

По табл. 1.4.2 [1] вибираємо трансформатор загального призначення типу ТДТН-80000/110.

2. Коефіцієнт завантаження трансформаторів у нормальному режимі:

$$k_{33} = \frac{S_{\max}}{S_T} = \frac{\sqrt{60^2 + 25^2}}{80} = 0,81.$$

Умови виконуються.

Зм.	Аркуш	№ докум.	Підпис	Дата	БР 5.6.14.1.655 ПЗ	Аркуш
						12

Таблиця 1.3 – Каталожні дані трансформаторів мережі

Параметри	Тип трансформатора		
	АТДЦН-200000/220	ТРДН-25000/110	ТДН-80000/110
Номінальна потужність, $S_{nom}$ (МВ·А)	200	25	80
Номінальні напруги обмоток, кВ			
вищої напруги, $U_{nom.vh}$	230	115	115
середньої напруги, $U_{nom.ch}$	121	—	38,5
нижчої напруги, $U_{nom.hn}$	10,5	10,5	11
Втрати, кВт			
холостого ходу, $\Delta P_x$	125	27	82
короткого замикання, $\Delta P_k$	430	120	390
Напруга короткого замикання між обмотками, % від $U_{nom}$			
вищої – нижчої напруг, $U_{k.v-h}$	11	10,5	11
вищої - середньої напруг, $U_{k.c-h}$	32	—	18,5
середньої - нижчої напруг, $U_{k.c-h}$	20	—	7
Струм холостого ходу, $I_x$ (% від $I_{nom}$ )	0,5	0,7	0,6
Активний опір обмоток, $R_T$ (Ом)			
обмотка ВН	0,3	2,54	0,4
обмотка СН	0,3	—	0,4
обмотка НН	0,6	—	0,4
Реактивний опір обмоток, $X_T$ (Ом)			
обмотка ВН	30,4	175	18,6
обмотка СН	0	—	0
обмотка НН	54,2	—	11,9
Втрати потужності в обмотках, $\Delta qx$ (кВАр)	1000	410	480

## 1.4 Визначення параметрів схеми заміщення

1. Для заданої схеми мережі складаємо схему заміщення:

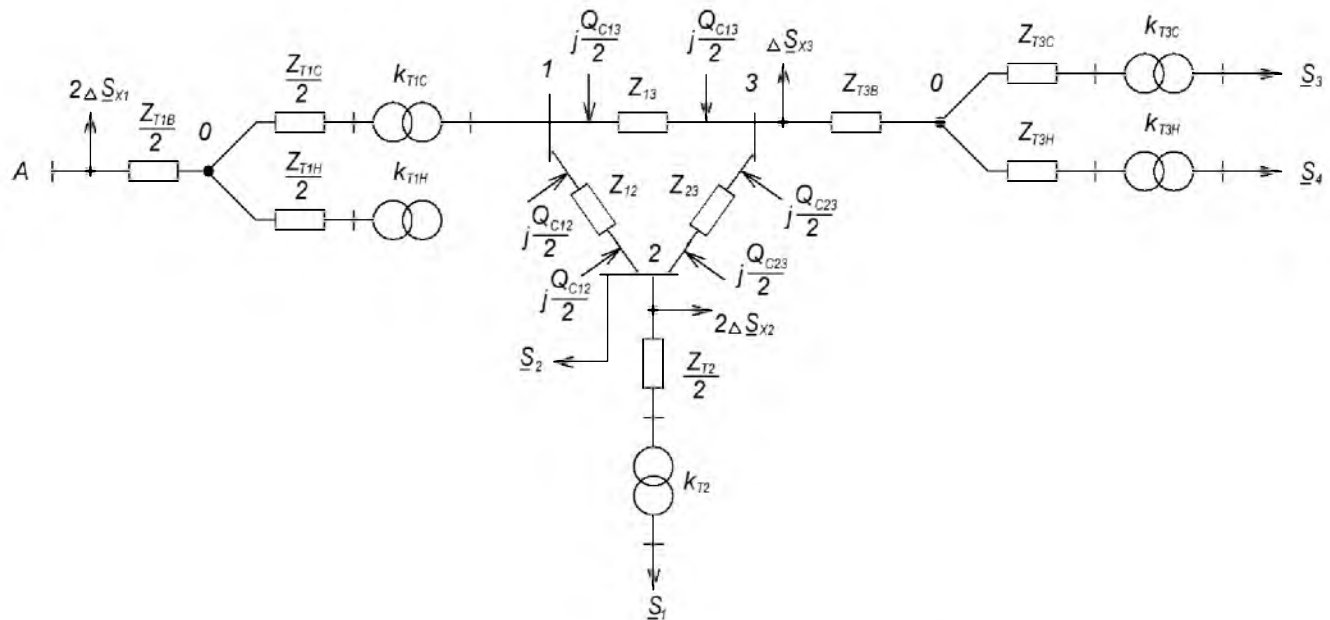


Рисунок 1.2 – Схема заміщення замкненої мережі

2. Розраховуємо параметри схеми заміщення ліній (рис. 1.2).

Лінія Л-1:

$$R_{13} = r_0 l_{13} = 0,12 \cdot 50 = 6,0 \text{ Ом};$$

$$X_{13} = x_0 l_{13} = 0,405 \cdot 50 = 20,25 \text{ Ом};$$

$$\frac{Q_{C13}}{2} = \frac{U_H^2 b_0 l_{13}}{2} = \frac{110^2 \cdot 2,81 \cdot 10^{-6} \cdot 50}{2} = 0,85 \text{ МВАр.}$$

Лінія Л-2:

$$R_{12} = r_0 l_{12} = 0,12 \cdot 50 = 6,0 \text{ Ом};$$

$$X_{12} = x_0 l_{12} = 0,405 \cdot 50 = 20,25 \text{ Ом};$$

$$\frac{Q_{C12}}{2} = \frac{U_H^2 b_0 l_{12}}{2} = \frac{110^2 \cdot 2,81 \cdot 10^{-6} \cdot 50}{2} = 0,85 \text{ МВАр.}$$

Зм.	Аркуш	№ докум.	Підпис	Дата

Лінія Л-З:

$$R_{23} = r_0 l_{23} = 0,12 \cdot 40 = 4,8 \text{ Ом};$$

$$X_{23} = x_0 l_{23} = 0,405 \cdot 40 = 16,2 \text{ Ом};$$

$$\frac{Q_{C23}}{2} = \frac{U_H^2 b_0 l_{23}}{2} = \frac{110^2 \cdot 2,81 \cdot 10^{-6} \cdot 40}{2} = 0,68 \text{ МВАр.}$$

3. Параметри схеми заміщення трансформаторів наведені в табл. 2.

### 1.5 Розрахунок розімкненої мережі

1. Оскільки в заданій схемі є лінії двох номінальних напруг – 110 кВ і 220 кВ, то параметри лінії А1 розраховуємо при номінальній напрузі 220 кВ.

Складаємо розрахункову схему мережі:

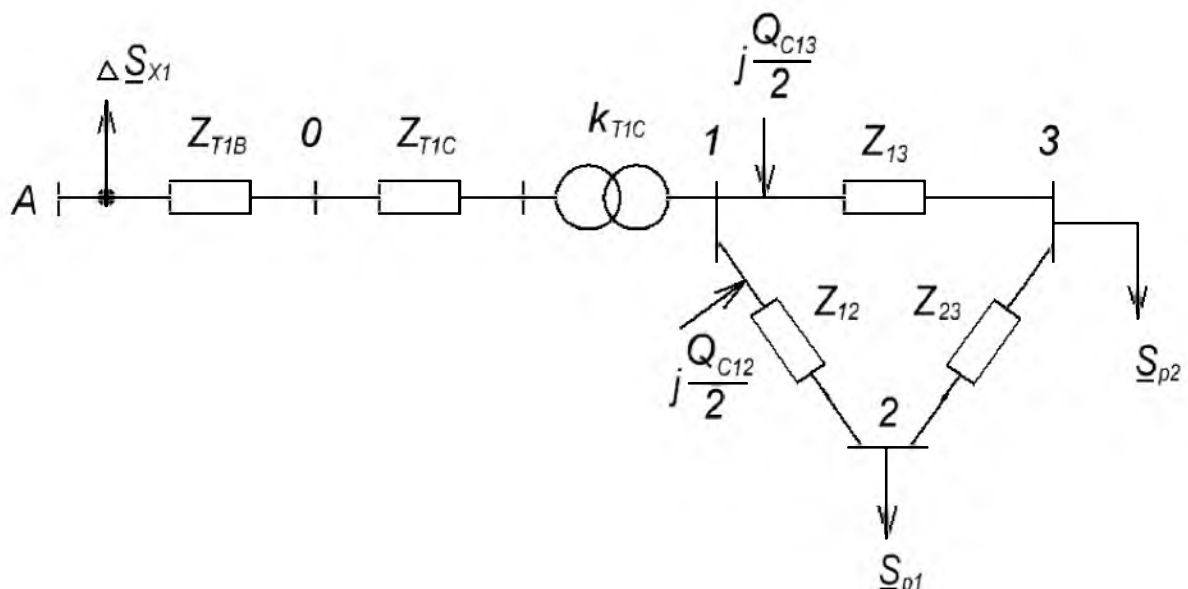


Рисунок 1.3 – Розрахункова схема змішаної мережі

2. Приведені до сторони ВН навантаження визначаємо як суму потужностей, заданих на шинах НН, втрат в обмотках, вітках намагнічування трансформаторів мінус зарядні потужності ліній, приєднаних до підстанцій.

Зм.	Аркуш	№ докум.	Підпис	Дата

$$\underline{S}_p = (P_{нар} + \Delta P_{xx} + \frac{(S_{нар})^2}{U_{ном}^2} \cdot R_T) + j(Q_{нар} + \Delta Q_{xx} + \frac{(S_{нар})^2}{U_{ном}^2} \cdot X_T - \Sigma \Delta Q_c).$$

3. Визначаємо розрахункове навантаження:

a) приведене до сторони ВН трансформаторної підстанції Т-2:

$$\begin{aligned}\underline{S}_{p1} &= (P_{нар1} + 2\Delta P_{x2} + \frac{P_{нар1}^2 + Q_{нар1}^2}{U_{ном}^2} \cdot \frac{R_{T2}}{2} + P_{нар2}) + \\ &+ j(Q_{нар1} + 2\Delta Q_{x2} + \frac{P_{нар1}^2 + Q_{нар1}^2}{U_{ном}^2} \cdot \frac{X_{T2}}{2} + Q_{нар2} - \frac{Q_{C12}}{2} - \frac{Q_{C23}}{2}); \\ \underline{S}_{p1} &= \left( 30 + 2 \cdot 0,027 + \frac{30^2 + 15^2}{110^2} \cdot \frac{2,54}{2} \right) + \\ &+ j \left( 15 + 2 \cdot 0,175 + \frac{30^2 + 15^2}{110^2} \cdot \frac{55,9}{2} - 0,85 - 0,68 \right) = 100,17 + j76,42 \text{ МВА.}\end{aligned}$$

b) приведене до сторони ВН трансформаторної підстанції Т-3:

$$\begin{aligned}\underline{S}'_{p2} &= (P_{нар4} + P_{нар3} + \frac{P_{нар4}^2 + Q_{нар4}^2}{U_{ном}^2} \cdot R_{T3H} + \frac{P_{нар3}^2 + Q_{нар3}^2}{U_{ном}^2} \cdot R_{T3C}) + \\ &+ j(Q_{нар4} + Q_{нар3} + \frac{P_{нар4}^2 + Q_{нар4}^2}{U_{ном}^2} \cdot X_{T3H} + \frac{P_{нар3}^2 + Q_{нар3}^2}{U_{ном}^2} \cdot X_{T3C}); \\ \underline{S}'_{p2} &= \left( 45 + 15 + \frac{45^2 + 15^2}{110^2} \cdot 0,4 + \frac{15^2 + 35^2}{110^2} \cdot 0,4 \right) + \\ &+ j \left( 15 + 35 + \frac{45^2 + 15^2}{110^2} \cdot 11,9 + \frac{15^2 + 35^2}{110^2} \cdot 0 \right) = 60,40 + j56,0 \text{ МВА.}\end{aligned}$$

$$\begin{aligned}\underline{S}_{p2} &= \underline{S}'_{p2} + \Delta \underline{S}_{x3} + \frac{(\underline{S}'_{p2})^2}{U_{ном}^2} (R_{m3e} + jX_{m3e}) - jQ_{C13} - jQ_{C23} = \\ &= (60,40 + j56,0) + (0,082 + j0,48) + \frac{60,40^2 + 56,0^2}{110^2} (0,4 + j18,6) -\end{aligned}$$

Зм.	Аркуш	№ докум.	Підпис	Дата

$$-j0,85 - j0,68 = 60,68 + j64,33 \text{ МВА.}$$

Тепер необхідно перейти до розрахунків замкненої частини мережі.

## 1.6 Розрахунок замкненої мережі

Для визначення в замкненій частині мережі розподілу потужностей можна її умовно розділити у вузлі 1 і представити у вигляді лінії із двостороннім живленням (рис. 1.4).

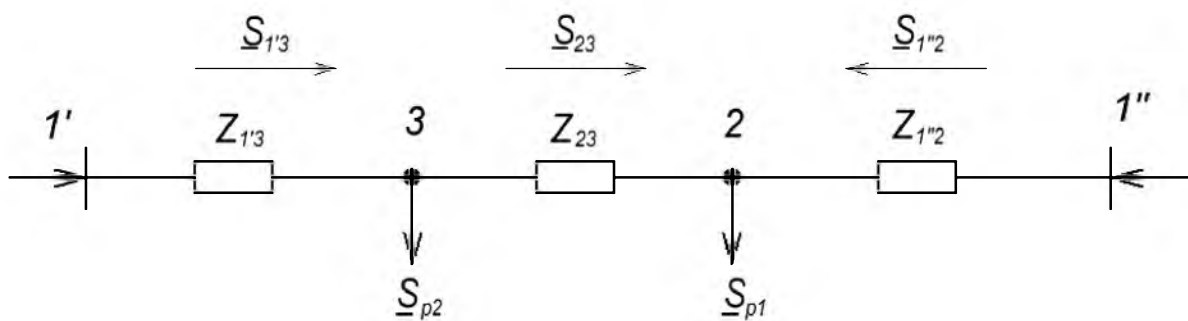


Рисунок 1.4 – Розрахункова схема замкненої частини мережі

Знаходимо потужності в лініях 1'3 і 1"2, враховуючи, що замкнена мережа однорідна:

$$\underline{S}_{1'3} = \frac{\underline{S}_{p2} \cdot l_{321''} + \underline{S}_{p1} \cdot l_{21''}}{l_{1'321''}} = \frac{(60,68 + j64,33) \cdot 90 + (100,17 + j76,42) \cdot 50}{140} = \\ = 88,05 + j79,37 \text{ МВА.}$$

$$\underline{S}_{1''2} = \frac{\underline{S}_{p1} \cdot l_{231'} + \underline{S}_{p2} \cdot l_{31'}}{l_{1'321'}} = \frac{(100,17 + j76,42) \cdot 90 + (60,68 + j64,33) \cdot 50}{140} = \\ = 92,54 + j78,13 \text{ МВА.}$$

Здійснюємо перевірку виконаних розрахунків за умовою:

$$\underline{S}_{1'3} + \underline{S}_{1''2} = \underline{S}_{p1} + \underline{S}_{p2},$$

$$180,59 + j157,5 \text{ МВА} = 180,59 + j157,5 \text{ МВА.}$$

Зм.	Аркуш	№ докум.	Підпис	Дата

Розрахунки виконані правильно.

Використовуючи перший закон Кірхгофа для вузла 3, знаходимо потужність  $\underline{S}_{23}$ :

$$\underline{S}_{23} = \underline{S}_{1'3} - \underline{S}_{p2} = (88,05 + j79,37) - (60,41 + j61,08) = 27,63 + j18,29 \text{ МВА.}$$

Подальший розрахунок потужностей з урахуванням втрат потужності в лініях слід починати з вузла 3, який є точкою потокорозподілу потужностей джерела живлення.

Приймаємо потужності  $\underline{S}_{1'3}$  і  $\underline{S}_{23}$  за дійсні потужності наприкінці ліній біля вузла 3 і знаходимо втрати в лінії 1'3:

$$\Delta \underline{S}_{1'3} = \frac{\underline{S}_{1'3}^2}{U_h^2} \cdot Z_{13} = \frac{88,05^2 + 79,37^2}{110^2} \cdot (4,72 + j16,2) = 5,49 + j18,81 \text{ МВА.}$$

Потужність на початку лінії 1'3:

$$\underline{S}_{1'3}^h = \underline{S}_{1'3} + \Delta \underline{S}_{1'3} = (88,05 + j79,37) + (5,49 + j18,81) = 93,53 + j98,18 \text{ МВА.}$$

Знаходимо потужності втрати в лінії 23:

$$\Delta \underline{S}_{23} = \frac{(\underline{S}_{23})^2}{U_h^2} \cdot Z_{23} = \frac{27,63^2 + 18,29^2}{110^2} \cdot (4,72 + j16,2) = 0,428 + j1,47 \text{ МВА.}$$

Потужність на початку лінії:

$$\underline{S}_{23}^h = \underline{S}_{23} + \Delta \underline{S}_{23} = (27,63 + j18,29) + (0,428 + j1,47) = 28,06 + j19,76 \text{ МВА.}$$

Зм.	Аркуш	№ докум.	Підпис	Дата

Потужність наприкінці лінії 1"2:

$$\underline{S}_{1''2}^{\kappa} = \underline{S}_{23}^{\kappa} + \underline{S}_{p2} = (28,06 + j19,76) + (60,41 + j61,08) = 88,47 + j80,84 \text{ МВА.}$$

Знаходимо потужності втрати в лінії:

$$\Delta \underline{S}_{1''2}^{\kappa} = \frac{\left(\underline{S}_{1''2}^{\kappa}\right)^2}{U_h^2} \cdot Z_{12} = \frac{88,47^2 + 80,84^2}{110^2} \cdot (5,9 + j20,65) = 7,0 + j24,51 \text{ МВА.}$$

Потужність на початку лінії:

$$\underline{S}_{1''2}^{\kappa} = \underline{S}_{1''2}^{\kappa} + \Delta \underline{S}_{1''2}^{\kappa} = (88,47 + j80,84) + (7,0 + j24,51) = 95,48 + j105,35 \text{ МВА.}$$

Потужність на шинах обмотки СН:

$$\begin{aligned} \underline{S}_{T1C}^{\kappa} &= (\underline{S}_{1'3}^{\kappa} + \underline{S}_{1''2}^{\kappa}) + \frac{\left(\underline{S}_{1'3}^{\kappa} + \underline{S}_{1''2}^{\kappa}\right)^2}{U_h^2} \cdot \frac{Z_{T1C}}{2} = \\ &= (93,53 + j98,18) + (95,48 + j105,35) + \frac{189^2 + 203,53^2}{110^2} \cdot \frac{(0,3 + j0)}{2} = \\ &= 189,96 + j203,53 \text{ МВА.} \end{aligned}$$

Знаходимо потужність, яку видає джерело живлення А:

$$\begin{aligned} \underline{S}_A &= \underline{S}_{T1C}^{\kappa} + \frac{\left(\underline{S}_{T1C}^{\kappa}\right)^2}{U_h^2} \cdot \frac{Z_{T1B}}{2} + 2\Delta \underline{S}_{x1} = \\ &= (190,92 + j203,53) + 2 \cdot (0,125 + j1,0) + \frac{190,92^2 + 203,53^2}{110^2} \cdot \frac{(0,3 + j30,4)}{2} = \\ &= 190,45 + j229,88 \text{ МВА.} \end{aligned}$$

Зм.	Аркуш	№ докум.	Підпис	Дата

Напруга у вузлі 0:

$$U_0 = \sqrt{\left( U_A - \frac{P_A R_{T1e} + Q_A X_{T1e}}{U_A} \right)^2 + \left( \frac{P_A X_{T1e} + Q_A R_{T1e}}{U_A} \right)^2},$$

$$U_0 = \sqrt{242 - \frac{190,45 \cdot \frac{0,3}{2} + 229,88 \cdot \frac{30,4}{2}}{242}} + \sqrt{\frac{190,45 \cdot \frac{30,4}{2} - 229,88 \cdot \frac{0,3}{2}}{242}} =$$

$$= 227,75 \text{ кВ.}$$

Напруга у вузлі 1:

$$U_1 = \frac{U_{C1}}{U_{B1}} \cdot \sqrt{\left( U_0 - \frac{P_{T1C}^h R_{T1C} + Q_{T1C}^h X_{T1C}}{U_0} \right)^2 + \left( \frac{P_{T1C}^h X_{T1C} - Q_{T1C}^h R_{T1C}}{U_0} \right)^2} =$$

$$= \frac{121}{230} \cdot \sqrt{227,75 - \frac{189,96 \cdot \frac{0,2}{1} + 203,53 \cdot 0}{227,75}} + \sqrt{\frac{189,96 \cdot 0 - 203,53 \cdot 0,2}{227,75}} = 119,8 \text{ кВ.}$$

де  $P_{T1C}^h + Q_{T1C}^h = S_{T1C}^h$  - потужність на шинах СН трансформатора Т-1.

Напруга у вузлі 3:

$$U_3 = U_1 - \frac{P_{1'3}^h R_{13} + Q_{1'3}^h X_{13}}{U_1} = 119,75 - \frac{93,53 \cdot 4,72 + 98,18 \cdot 16,2}{119,8} = 102,78 \text{ кВ.}$$

Тоді напруга у вузлі 2 складе:

$$U_2 = U_1 - \frac{P_{1'2}^h R_{12} + Q_{1'2}^h X_{12}}{U_1} = 119,75 - \frac{95,48 \cdot 5,9 + 105,35 \cdot 20,65}{119,8} = 96,88 \text{ кВ.}$$

Визначаємо напругу на споживачах навантаження S1 і S2 з обліком поперечної складової спадання напруги:

Зм.	Аркуш	№ докум.	Підпис	Дата	Аркуш
					20

$$U_{S1} = \frac{U_{T2}^B}{k_{T2}} = U_{T2}^B \cdot \frac{U_{\text{н.ном2}}}{U_{\text{омв}}},$$

де  $U_{T2}^B$  - напруга НН трансформатора Т-2, приведена до сторони ВН;

$k_{T2} = \frac{U_{\text{омв}}}{U_{\text{н.ном2}}}$  - коефіцієнт трансформації трансформатора Т-2;

$U_{\text{омв}}$  - напруга регулюваного відгалуження обмотки ВН;

$U_{\text{н.ном2}}$  - номінальна напруга обмотки НН трансформатора.

$$\begin{aligned} U_{T2}^B = U_{S2} &= \sqrt{\left( U_2 - \frac{P_T^h \frac{R_{T2}}{2} + Q_T^h \frac{X_{T2}}{2}}{U_2} \right)^2 + \left( \frac{P_T^h \frac{X_{T2}}{2} - Q_T^h \frac{R_{T2}}{2}}{U_2} \right)^2} = \\ &= \sqrt{96,88 - \frac{30,12 \cdot \frac{2,54}{2} + 17,6 \cdot \frac{55,9}{2}}{96,88}^2 + \frac{30,12 \cdot \frac{55,9}{2} - 17,6 \cdot \frac{2,54}{2}}{96,88}^2} = 91,8 \text{ кВ.} \end{aligned}$$

де  $P_T^h + Q_T^h = S_T^h$  - потужність на початку трансформатора Т-2.

$$S_T^h = S_{\text{нар1}} + S_{\text{нар2}} + \frac{P_{\text{нар1}}^2 + Q_{\text{нар1}}^2}{U_{\text{ном}}^2} \cdot \frac{(R_{T2} + jX_{T2})}{2} = 30,12 + j17,6 \text{ МВА.}$$

$$U_{S1} = 91,8 \cdot \frac{10,5}{121} = 8,38 \text{ кВ.}$$

Відхилення дійсної напруги мережі від номінальної складе:

$$V_2 \% = \frac{U_{S2} - U_{\text{ном}}}{U_{\text{ном}}} \cdot 100 = \frac{8,38 - 10}{10} \cdot 100 = -16,18 \%,$$

Встановлюємо перемикач РПН у положення -9, перераховуємо дійсну напругу через даний коефіцієнт трансформації:

Зм.	Аркуш	№ докум.	Підпис	Дата

$$U_{S1} = 91,8 \cdot \frac{10,5}{115 + \frac{-9 \cdot 1,78 \cdot 115}{100}} = 9,98 \text{ кВ.}$$

При цьому відхилення напруги складе:

$$V_1 \% = \frac{U_{S1} - U_{\text{ном}}}{U_{\text{ном}}} \cdot 100 = \frac{9,98 - 10}{10} \cdot 100 = -0,2 \%,$$

що в межах припустимого.

Напруга у вузлі 0'

$$U'_0 = \sqrt{\left( U_3 - \frac{P_{T3}^h \frac{R_{T3e}}{2} + Q_{T3}^h \frac{X_{T3e}}{2}}{U_3} \right)^2 + \left( \frac{P_{T3}^h \frac{X_{T3e}}{2} + Q_{T3}^h \frac{R_{T3e}}{2}}{U_3} \right)^2},$$

де  $P_{T3e}^h + Q_{T3e}^h = S'_{p2}$  - потужність на початку трансформатора Т3.

$$U'_0 = \sqrt{\left( 102,78 - \frac{60,12 \cdot \frac{0,4}{2} + 52,21 \cdot \frac{18,6}{2}}{102,78} \right)^2 + \left( \frac{60,12 \cdot \frac{18,6}{2} - 52,21 \cdot 0,4}{102,78} \frac{0,4}{2} \right)^2} = 91,96 \text{ кВ.}$$

Визначаємо напругу на споживачеві навантаження S3:

$$U_{S3} = \frac{U_{T3c}^B}{k_{T3c}} = U_{T3c}^B \cdot \frac{U_{\text{н.ном3}}}{U_{\text{омв}}},$$

$$U_{T3}^B = \sqrt{\left( U'_0 - \frac{P_{T3c}^h R_{T3c} + Q_{T3c}^h X_{T3c}}{U'_0} \right)^2 + \left( \frac{P_{T3c}^h X_{T3c} - Q_{T3c}^h R_{T3c}}{U'_0} \right)^2} =$$

Зм.	Аркуш	№ докум.	Підпис	Дата

$$= \sqrt{\left( 91,96 - \frac{15,05 \cdot \frac{0,4}{2} + 35,0 \cdot 0}{91,96} \right)^2 + \left( \frac{15,05 \cdot 0 - 5,0 \cdot 2 \cdot \frac{0,4}{2}}{91,96} \right)^2} = 91,89 \text{ кВ.}$$

де  $P_{T3c}^h + Q_{T3c}^h = S_{T3c}^h$  - потужність, яка передається по обмотці СН трансформатора Т-3.

$$S_{T3c}^h = S_{нар3} + \frac{P_{нар3}^2 + Q_{нар3}^2}{U_{ном}^2} \cdot (R_{T3c} + jX_{T3c}) = 15,05 + j35,0 \text{ МВА.}$$

$$U_{S3} = 91,89 \cdot \frac{38,5}{115} = 30,76 \text{ кВ.}$$

Відхилення дійсної напруги мережі від номінальної складе:

$$V_3 \% = \frac{U_{S3} - U_{ном}}{U_{ном}} \cdot 100 = \frac{30,76 - 35}{35} \cdot 100 = -12,1 \%,$$

Встановлюємо перемикач РПН у положення -7, перераховуємо дійсну напругу через даний коефіцієнт трансформації:

$$U_{S3} = 91,89 \cdot \frac{38,5}{115 + \frac{-7 \cdot 1,78 \cdot 115}{100}} = 35,14 \text{ кВ.}$$

При цьому відхилення напруги складе:

$$V_3 \% = \frac{U_{S3} - U_{ном}}{U_{ном}} \cdot 100 = \frac{35,14 - 35}{35} \cdot 100 = 0,41 \%,$$

що в межах припустимого.

Зм.	Аркуш	№ докум.	Підпис	Дата

Визначаємо напругу на споживачеві навантаження S4:

$$U_{S4} = \frac{U_{T3H}^B}{k_{T3H}} = U_{T3H}^B \cdot \frac{U_{н.ном3}}{U_{омв}},$$

$$U_{T2}^B = \sqrt{\left( U'_0 - \frac{P_{T3H}^H R_{T3H} + Q_{T3H}^H X_{T3H}}{U'_0} \right)^2 + \left( \frac{P_{T3H}^H X_{T3H} - Q_{T3H}^H R_{T3H}}{U'_0} \right)^2} =$$

$$= \sqrt{91,96 - \frac{45,07 \cdot 0,4 + 17,21 \cdot 11,9}{91,96}}^2 + \left( \frac{45,07 \cdot 11,9 - 17,21 \cdot 0,4}{91,96} \right)^2 = 89,72 \text{ кВ.}$$

де  $P_{T3H}^H + Q_{T3H}^H = S_{T3H}^H$  - потужність, яка передається по обмотці НН трансформатора Т-3.

$$S_{T3H}^H = S_{нар4} + \frac{P_{нар4}^2 + Q_{нар4}^2}{U_{ном}^2} \cdot (R_{T3H} + jX_{T3H}) = 45,07 + j17,21 \text{ МВА.}$$

$$U_{S4} = 89,72 \cdot \frac{11}{115} = 8,58 \text{ кВ.}$$

Відхилення дійсної напруги мережі від номінальної складе:

$$V_4 \% = \frac{U_{S4} - U_{ном}}{U_{ном}} \cdot 100 = \frac{8,58 - 10}{10} \cdot 100 = -14,18 \%,$$

Встановлюємо перемикач РПН у положення -8, перераховуємо дійсну напругу через даний коефіцієнт трансформації:

$$U_{S4} = 89,72 \cdot \frac{11}{115 + \frac{-8 \cdot 1,78 \cdot 115}{100}} = 10,01 \text{ кВ.}$$

При цьому відхилення напруги складе:

						Аркуш
Зм.	Аркуш	№ докум.	Підпис	Дата		БР 5.6.14.1.655 П3

$$V_3\% = \frac{U_{S3} - U_{nom}}{U_{nom}} \cdot 100 = \frac{10,01 - 10}{10} \cdot 100 = 0,07\%,$$

що в межах припустимого.

## 1.7 Розрахунок електричної мережі в післяаварійному режимі

Вважаючи лінію Л-1 аварійно відключеною, виконуємо розрахунок режиму роботи електричної мережі, схема заміщення якої наведена на рис. 1.5.

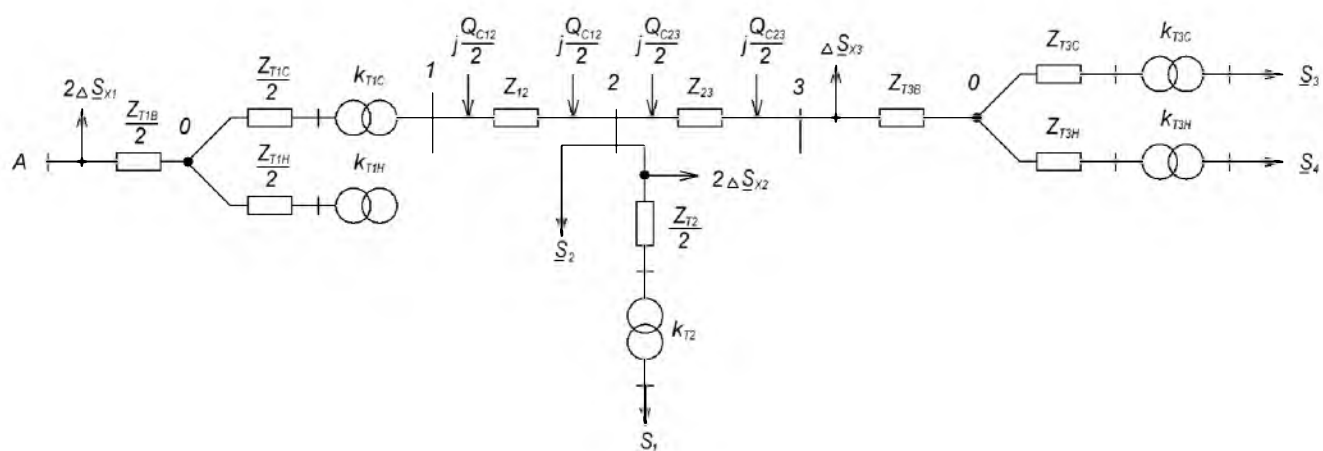


Рисунок 1.5 – Схема заміщення електричної мережі в аварійному режимі

Розрахунок навантажень, приведених до ВН трансформаторів при аварійному режимі роботи проводиться за тими ж вихідними параметрами, що й для нормального режиму, тому виконувати повторне перерахування немає необхідності.

Для зменшення спадання напруги в мережі в аварійному режимі застосуємо компенсацію реактивної потужності в мережі. Для цього у вузлі 3 необхідно встановити 1 конденсаторну батарею з конденсаторами типу КС2-1,05-60, у вузлі 2 – 3 батареї, у вузлі 1 – 2 батареї, розраховані на номінальну напругу 110 кВ, які забезпечать компенсацію реактивної потужності по 36,8 Мвар кожна.

Потужність наприкінці лінії Л-3 дорівнює:

Зм.	Аркуш	№ докум.	Підпис	Дата

$$\underline{S}_{23}^k = \underline{S}_{p2} - jQ_{BK} = 60,41 + j24,28 \text{ МВА.}$$

Втрати потужності в лінії:

$$\Delta \underline{S}_{23} = \frac{\left(\underline{S}_{23}^k\right)^2}{U_{nom}^2} (R_{23} + jX_{23}) = 1,65 + j5,68 \text{ МВА.}$$

Потужність на початку лінії Л-3:

$$\underline{S}_{23}^h = \underline{S}_{23}^k + \Delta \underline{S}_{23} = 62,07 + j29,96 \text{ МВА.}$$

Потужність наприкінці лінії Л-2 рівна:

$$\underline{S}_{12}^k = \underline{S}_{23}^h + \underline{S}_{p1} - 3 \cdot jQ_{BK} = 182,24 + j15,97 \text{ МВА.}$$

Втрати потужності в лінії:

$$\Delta \underline{S}_{12} = \frac{\left(\underline{S}_{12}^k\right)^2}{U_{nom}^2} (R_{12} + jX_{12}) = 16,32 + j57,11 \text{ МВА.}$$

Потужність на початку лінії Л-2:

$$\underline{S}_{12}^h = \underline{S}_{12}^k + \Delta \underline{S}_{12} = 198,56 + j73,09 \text{ МВА.}$$

Потужність на шинах обмотки СН:

$$\underline{S}_{T1C}^h = \left( \underline{S}_{1'3}^h + \underline{S}_{1''2}^h \right) + \frac{\left( \underline{S}_{1'3}^h + \underline{S}_{1''2}^h \right)^2}{U_h^2} \cdot Z_{T1C} - 2 \cdot jQ_{BK} = 199,11 - j0,51 \text{ МВА.}$$

Зм.	Аркуш	№ докум.	Підпис	Дата	Аркуш
					БР 5.6.14 1.655 П3

Знаходимо потужність, яку видає джерело живлення А:

$$\underline{S}_A = \underline{S}_{T1C}^h + \frac{\left(\underline{S}_{T1C}^h\right)^2}{U_h^2} \cdot \frac{Z_{T1B}}{2} + 2 \cdot \Delta \underline{S}_{x1} = 199,49 + j13,94 \text{ МВА.}$$

Напруга у вузлі 0:

$$U_0 = \sqrt{\left(U_A - \frac{P_A R_{T1e} + Q_A X_{T1e}}{U_A}\right)^2 + \left(\frac{P_A X_{T1e} + Q_A R_{T1e}}{U_A}\right)^2} = 241,33 \text{ кВ.}$$

Напруга у вузлі 1:

$$U_1 = \frac{U_{C1}}{U_{B1}} \cdot \sqrt{\left(U_0 - \frac{P_{T1C}^h R_{T1C} + Q_{T1C}^h X_{T1C}}{U_0}\right)^2 + \left(\frac{P_{T1C}^h X_{T1C} - Q_{T1C}^h R_{T1C}}{U_0}\right)^2} = 126,89 \text{ кВ.}$$

Напруга у вузлі 2:

$$U_2 = U_1 - \frac{P_{12}^h R_{12} + Q_{12}^h X_{12}}{U_1} = 105,77 \text{ кВ.}$$

Тоді напруга у вузлі 3 складе:

$$U_3 = U_2 - \frac{P_{23}^h R_{23} + Q_{23}^h X_{23}}{U_3} = 98,41 \text{ кВ.}$$

Визначаємо напругу на споживачах навантаження S1 і S2 з обліком поперечної складової спадання напруги:

Зм.	Аркуш	№ докум.	Підпис	Дата

$$U_{T2}^B = U_{S2} = \sqrt{\left( U_2 - \frac{P_{T2}^h \frac{R_{T2}}{2} + Q_{T2}^h \frac{X_{T2}}{2}}{U_2} \right)^2 + \left( \frac{P_{T2}^h \frac{X_{T2}}{2} - Q_{T2}^h \frac{R_{T2}}{2}}{U_2} \right)^2} = 101,05 \text{ кВ.}$$

де  $P_{T1}^h + Q_{T1}^h = S_{T1}^h$  - потужність на початку трансформатора Т-1.

$$S_{T2}^h = S_{\text{нарп1}} + S_{\text{нарп2}} + \frac{P_{\text{нарп1}}^2 + Q_{\text{нарп1}}^2}{U_{\text{ном}}^2} \cdot \frac{(R_{T2} + jX_{T2})}{2} = 30,12 + j17,6 \text{ МВА.}$$

$$U_{S1} = 101,05 \cdot \frac{10,5}{121} = 9,23 \text{ кВ.}$$

Відхилення дійсної напруги мережі від номінальної складе:

$$V_1 \% = \frac{U_{S1} - U_{\text{ном}}}{U_{\text{ном}}} \cdot 100 = \frac{9,23 - 10}{10} \cdot 100 = -7,73 \text{ \%}.$$

Встановлюємо перемикач РПН у положення -4, перераховуємо дійсну напругу через даний коефіцієнт трансформації:

$$U_{S1} = 101,05 \cdot \frac{10,5}{121 + \frac{-4 \cdot 1,78 \cdot 121}{100}} = 9,93 \text{ кВ.}$$

При цьому відхилення напруги складе:

$$V_1 \% = \frac{U_{S1} - U_{\text{ном}}}{U_{\text{ном}}} \cdot 100 = \frac{9,93 - 10}{10} \cdot 100 = -0,66 \text{ \%},$$

що в межах допустимого.

Зм.	Аркуш	№ докум.	Підпис	Дата

Напруга у вузлі 0'

$$U'_0 = \sqrt{\left( U_3 - \frac{P_T^h \frac{R_{T3e}}{2} + Q_T^h \frac{X_{T3e}}{2}}{U_3} \right)^2 + \left( \frac{P_T^h \frac{X_{T3e}}{2} + Q_T^h \frac{R_{T3e}}{2}}{U_3} \right)^2} = 87,17 \text{ кВ.}$$

Визначаємо напругу на споживачеві навантаження S3:

$$S_{T3c}^h = \underline{S}_{\text{нагр3}} + \frac{P_{\text{нагр3}}^2 + Q_{\text{нагр3}}^2}{U_{\text{ном}}^2} \cdot (R_{T3c} + jX_{T3c}) = 60,33 + j61,96 \text{ МВА.}$$

$$U_{T3}^B = \sqrt{\left( U'_0 - \frac{P_{T3c}^h R_{T3c} + Q_{T3c}^h X_{T3c}}{U'_0} \right)^2 + \left( \frac{P_{T3c}^h X_{T3c} - Q_{T3c}^h R_{T3c}}{U'_0} \right)^2} = 87,1 \text{ кВ.}$$

$$U_{S3} = 87,1 \cdot \frac{38,5}{115} = 29,16 \text{ кВ.}$$

Відхилення дійсної напруги мережі від номінальної складе:

$$V_3 \% = \frac{U_{S3} - U_{\text{ном}}}{U_{\text{ном}}} \cdot 100 = \frac{29,16 - 35}{35} \cdot 100 = -16,69 \text{ \%}.$$

Встановлюємо перемикач РПН у положення -9, перераховуємо дійсну напругу через даний коефіцієнт трансформації:

$$U_{S3} = 87,1 \cdot \frac{38,5}{115 + \frac{-9 \cdot 1,78 \cdot 115}{100}} = 34,72 \text{ кВ.}$$

При цьому відхилення напруги складе:

$$V_3 \% = \frac{U_{S3} - U_{\text{ном}}}{U_{\text{ном}}} \cdot 100 = \frac{34,72 - 35}{35} \cdot 100 = -0,79 \text{ \%},$$

Зм.	Аркуш	№ докум.	Підпис	Дата

що в межах припустимого.

Визначаємо напругу на споживачеві навантаження S4:

$$S_{T3H}^H = \underline{S}_{\text{наер}4} + \frac{P_{\text{наер}4}^2 + Q_{\text{наер}4}^2}{U_{\text{ном}}^2} \cdot (R_{T3H} + jX_{T3H}) = 45,07 + j17,21 \text{ МВА.}$$

$$U_{T2}^B = \sqrt{\left( U'_0 - \frac{P_{T3H}^H R_{T3H} + Q_{T3H}^H X_{T3H}}{U'_0} \right)^2 + \left( \frac{P_{T3H}^H X_{T3H} - Q_{T3H}^H R_{T3H}}{U'_0} \right)^2} = 84,83 \text{ кВ.}$$

$$U_{S4} = 84,83 \cdot \frac{11}{115} = 8,11 \text{ кВ.}$$

Відхилення дійсної напруги мережі від номінальної складе:

$$V_4 \% = \frac{U_{S4} - U_{\text{ном}}}{U_{\text{ном}}} \cdot 100 = \frac{8,11 - 10}{10} \cdot 100 = -18,86 \text{ %.}$$

Встановлюємо перемикач РПН у положення -9, перераховуємо дійсну напругу через даний коефіцієнт трансформації:

$$U_{S4} = 84,83 \cdot \frac{11}{115 + \frac{-9 \cdot 1,78 \cdot 115}{100}} = 9,66 \text{ кВ.}$$

При цьому відхилення напруги складе:

$$V_4 \% = \frac{U_{S2} - U_{\text{ном}}}{U_{\text{ном}}} \cdot 100 = \frac{9,66 - 10}{10} \cdot 100 = -3,38 \text{ %},$$

що в межах допустимого.

Зм.	Аркуш	№ докум.	Підпис	Дата

## 2 РОЗРАХУНОК ЕЛЕКТРИЧНОЇ ЧАСТИНИ ПІДСТАНЦІЇ

Згідно із завданням, необхідно розрахувати двохтрансформаторну підстанцію ПС-1, до якої підключено навантаження потужністю  $S_1 = 30 + j15 \text{ МВА}$ . На підстанції встановлені трансформатори типу ТРДН-25000/110.

### 2.1 Вибір силових трансформаторів та їх перевірка за графіком навантаження

$$S_{\text{нав}} = \sqrt{P_{\text{нав}}^2 + Q_{\text{нав}}^2} = \sqrt{30^2 + 15^2} = 33,5 \text{ МВА}$$

$$S_{\text{тр}} = \frac{S_{\text{нав}}}{K_{\text{ав}}} = 33,5 / 1,4 = 23,93 \text{ МВА}$$

де  $K_{\text{ав}} = 1,4$ .

$$K_3 = \frac{S_{\text{нав}}}{2 \cdot S_{\text{тр.ном}}} = 0,67$$

Для підстанцій були обрані трансформатори потужності  $S = 25 \text{ МВА}$  типу ТРДН-25000/110.

Перевіримо трансформатори за добовим графіком навантаження табл.2.1.

Таблиця 2.1 – Добове навантаження підстанції

t, г	0	2	4	6	8	10	12	14	16	18	20	22
S, %	40	50	60	95	85	70	70	95	95	110	125	105
S, МВА	13,4	16,8	20,1	31,8	28,5	23,5	23,5	31,8	31,8	36,9	41,9	35,2

Для перевірки правильності вибору трансформатора реальний графік навантаження перетворимо в двоступінчастий. Початкове навантаження еквівалентного графіка визначається за формулою [10]:

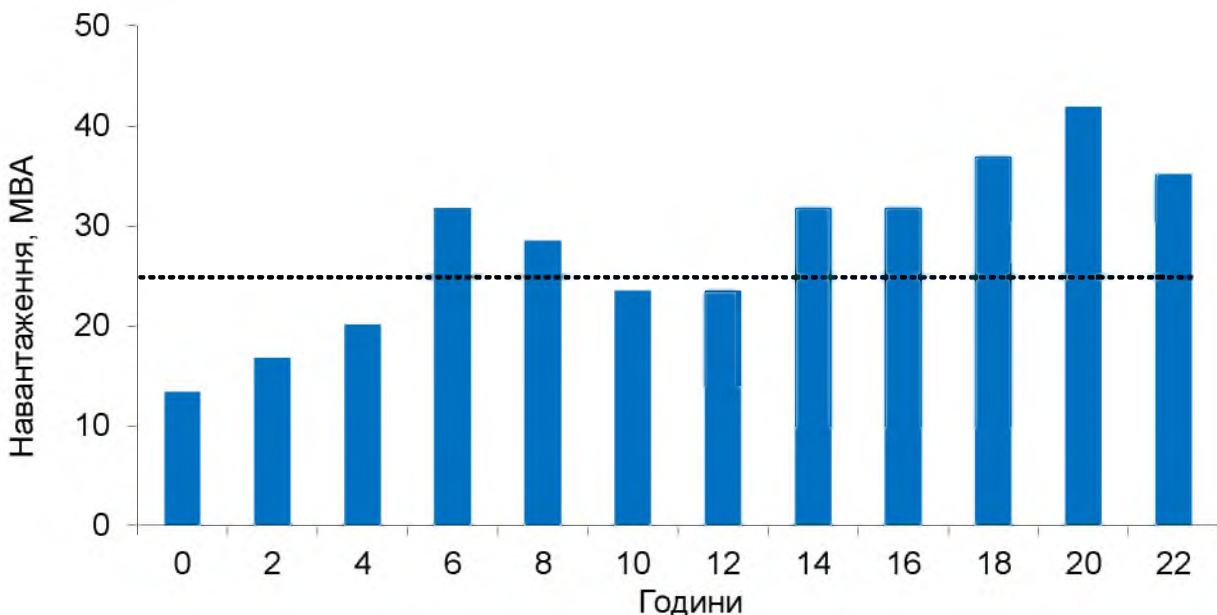


Рисунок 2.1 – Графік навантаження підстанцій

$$K_1 = \frac{1}{S_{\text{НОМ}}} \cdot \sqrt{\frac{S_1^2 t_1 + S_2^2 t_2 + \dots + S_n^2 t_n}{t_1 + t_2 + \dots + t_n}} = \\ = \frac{1}{25} \cdot \sqrt{\frac{13,4^2 \cdot 2 + 16,8^2 \cdot 2 + 20,1^2 \cdot 2 + 23,5^2 \cdot 2 + 23,5^2 \cdot 2}{2 \cdot 5}} = 0,753$$

де  $S_1, S_2, \dots, S_n$  – власне навантаження першого; другого;  $n$ -го ступеня графіка навантаження, розміщеного нижче лінії номінальної потужності трансформатора;  
 $t_1, t_2, \dots, t_n$  – тривалість ступеня, година.

Аналогічно визначається другий ступінь еквівалентного графіка, але при цьому беруться ступені, розміщені вище лінії номінальної потужності трансформатора

$$K_2 = \frac{1}{S_{\text{НОМ}}} \cdot \sqrt{\frac{S_1^2 t_1 + S_2^2 t_2 + \dots + S_n^2 t_n}{t_1 + t_2 + \dots + t_n}} = \\ = \frac{1}{25} \cdot \sqrt{\frac{31,8^2 \cdot 2 + 28,5^2 \cdot 2 + 31,8^2 \cdot 2 + 31,8^2 \cdot 2 + 36,9^2 \cdot 2 + 41,9^2 \cdot 2 + 35,2^2 \cdot 2}{2 \cdot 7}} = 1,323$$

де  $S_1, S_2, \dots, S_n$  – навантаження вище лінії номінальної потужності трансформатора.

Зм.	Аркуш	№ докум.	Підпис	Дата	БР 5.6.14.1.655 ПЗ	Аркуш
						32

Максимальне перевантаження трансформатора складає

$$K_{\text{MAX}} = \frac{S_{\text{MAX}}}{S_{\text{НОМ}}} = 41,9 / 25 = 1,68$$

де  $S_{\text{MAX}}$  – максимальне навантаження трансформатора за графіком навантаження.

$$K'_2 = 0,9 \cdot K_{\text{MAX}} = 0,9 \cdot 1,68 = 1,51.$$

Порівнююмо попереднє значення  $K_2$  і  $K'_2$  для подальших розрахунків приймаємо більше з них  $K_2 = 1,323$  та  $K'_2 = 1,51$ ,  $K'_2 > K_2$  отже приймаємо  $K_2 = 1,51$ .

За ГОСТом 14209-85 з урахуванням еквівалентної температури зимового періоду  $t = 0^{\circ}\text{C}$  і часу перевантаження  $t_{\text{перев}} = 14$  год, знаходимо значення перевантаження допустиме  $K_{2\text{гост}} = 1,524$ .

Порівнюємо значення  $K_2$  за ГОСТом і реальне.  $K_{2\text{гост}} = 1,524$  і  $K_2 = 1,51$ .

$K_{2\text{гост}} > K_2$ . Значення  $K_2$  за ГОСТом більше, ніж реальне, значить трансформатор обраний правильно.

Висновок:

Трансформатор ТРДН-25000/110 у випадку виходу з ладу 1-го трансформатора 2-й трансформатор забезпечить живлення споживачів без обмеження по часу та по потужності.

## 2.2 Розрахунок струмів короткого замикання

Визначення величини струмів короткого замикання необхідне для правильного вибору устаткування на стороні 110 кВ і 10 кВ. Вихідна однолінійна електрична схема електромережі наведена на рис. 2.2. Підстанція живиться за двома тупиковими лініями: схеми заміщення для розрахунку струмів короткого замикання наведена на рис. 2.3.

Зм.	Аркуш	№ докум.	Підпис	Дата

БР 5.6.14.1.655 ПЗ

Аркуш

33

Розрахунок струмів короткого замикання виконаємо в іменованій системі одиниць. Потужність короткого замикання на шинах 110 кВ центра живлення складає  $S_C = 2900$  МВА.

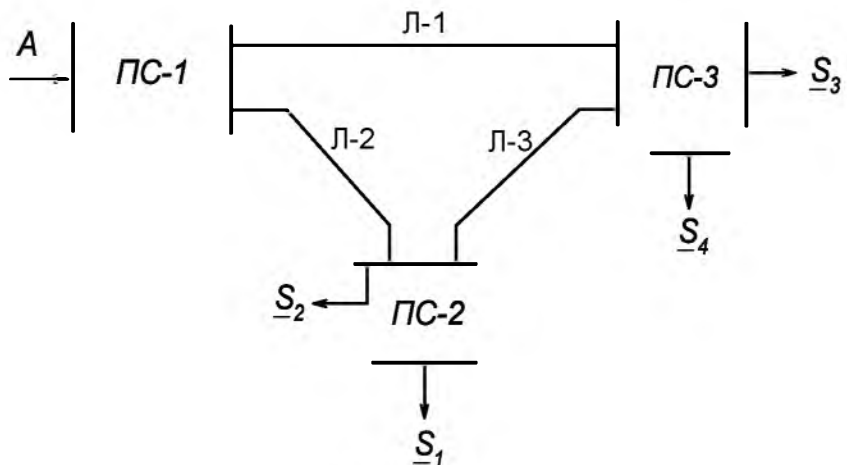


Рисунок 2.2 – Вихідна однолінійна електрична схема електромережі

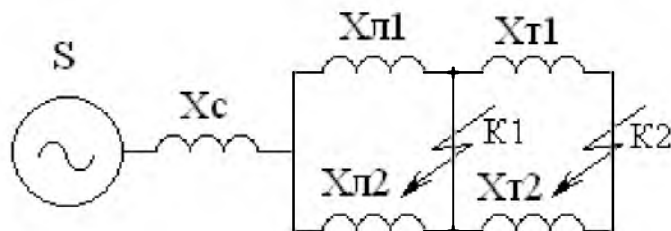


Рисунок 2.3 – Схема заміщення для розрахунку струмів короткого замикання

Опір системи дорівнює

$$X_c = \frac{U_{\text{л}}^2}{S_c} = 110^2 / 2900 = 4,17 \text{ Ом.}$$

Опори працюючих ліній:

Лінія	Л-1	Л-2	Л-3
Довжина, км	50	50	40
Марка проводу	AC-240/32	AC-240/32	AC-240/32
$X_{\text{л}}$ , Ом	20,25	20,25	16,2

$$X_{\text{л1}} = X_{\text{л-1}} + X_{\text{л-3}} = 36,45 \text{ Ом}$$

$$X_{\text{л2}} = X_{\text{л-2}} = 20,25 \text{ Ом}$$

$$X_{\text{л}} = \frac{X_{\text{л1}} \cdot X_{\text{л2}}}{X_{\text{л1}} + X_{\text{л2}}} = (36,45 \cdot 20,25) / (36,45 + 20,25) = 13,02 \text{ Ом.}$$

## Опір трансформаторів

$$X_T = \frac{U_{k\%} U_H^2}{100 \cdot S_H} = (10,5 \cdot 110^2) / (100 \cdot 25) = 50,8 \text{ Ом.}$$

Періодична складова СКЗ у точці K<sub>1</sub>:

$$I_{K1} = \frac{U_L}{\sqrt{3}(X_c + X_L)} = 110000 / (1,73 \cdot (20,25 + 13,02)) = 3,695 \text{ кА.}$$

Періодична складова СКЗ у точці K<sub>2</sub> приведена до напруги вищої сторони

$$I_{K2}^B = \frac{U_L}{\sqrt{3} \left( X_c + X_L + \frac{X_T}{2} \right)} = 110000 / (1,73 \cdot (20,25 + 13,02 + 50,8/2)) = 1,491 \text{ кА.}$$

Реальний струм КЗ у точці K<sub>2</sub>:

$$I_{K2} = I_{K2}^B \frac{U_B}{U_H} = I_{K2}^B \cdot (110 / 10) = 16,4 \text{ кА.}$$

Ударний струм:

- у точці K<sub>1</sub>:  $i_{y_{d1}} = \sqrt{2} \cdot 1,61 \cdot I_{K1} = 8,41 \text{ кА};$

- у точці K<sub>2</sub>:  $i_{y_{d2}} = \sqrt{2} \cdot 1,61 \cdot I_{K2} = 37,34 \text{ кА.}$

Допустимо, що амплітуда ЕДС і періодична складова ТКЗ незмінні за часом, тому через час, який дорівнює часу відключення

$I_{n\tau 1} = I_{K1} = 3,695 \text{ кА}$  для точки K<sub>1</sub>;

$I_{n\tau} = I_{K2} = 16,4 \text{ кА}$  для точки K<sub>2</sub>.

Аперіодична складова ТКЗ до моменту розбіжності контактів вимикача

Зм.	Аркуш	№ докум.	Підпис	Дата	БР 5.6.14.1.655 ПЗ	Аркуш
						35

$$i_{a1} = \sqrt{2} \cdot I_{K1} \cdot e^{-\frac{t}{T_a}} = \sqrt{2} \cdot 3,695 \cdot e^{-\frac{0,06}{0,025}} = 0,474 \text{ кА}$$

$$i_{a2} = \sqrt{2} \cdot I_{K2} \cdot e^{-\frac{t}{T_a}} = \sqrt{2} \cdot 16,4 \cdot e^{-\frac{0,1}{0,05}} = 3,139 \text{ кА}$$

де  $T_a$  – постійна часу загасання аперіодичної складової для  $K_1$  –  $T_a = 0,025$  с, для  $K_2$  –  $T_a = 0,05$  с.

Інтеграл Джоуля:

$$\text{для } K_1 B_R = I_{K1}^2(t + T_a) = I_{K1}^2(0,06 + 0,025) = 3,695^2 \cdot 0,085 = 1,161 \text{ кA}^2 \cdot \text{с}$$

$$\text{для } K_2 B_R = I_{K2}^2(t + T_a) = I_{K2}^2(0,1 + 0,05) = 16,4^2 \cdot 0,15 = 40,34 \text{ кA}^2 \cdot \text{с}$$

Таблиця 2.2 – Значення струмів короткого замикання

Струми короткого замикання	СКЗ у початковий момент часу	Ударний СКЗ $i_y$ , кА	Аперіод. складова СКЗ, $i_a$ кА	Інтеграл Джоуля $B_K$ , кA <sup>2</sup> ·с
Шини 110 кВ ( $K_1$ )	3,695	8,41	0,474	1,161
Шини 10 кВ ( $K_2$ )	16,4	37,34	3,139	40,34

### 2.3 Вибір захисної та комутаційної апаратури

Високовольтні електричні апарати вибираються за умовою тривалого режиму роботи і перевіряються за умовами коротких замикань. При цьому для апаратів виконується:

- 1) вибір за напругою;
- 2) вибір за нагріванням при тривалих струмах;
- 3) перевірка на електродинамічну стійкість;
- 4) перевірка на термічну стійкість;

Вибору підлягають:

- вимикачі на боці вищої напруги;
- вступні вимикачі на боці 10 кВ;

Зм.	Аркуш	№ докум.	Підпис	Дата	Аркуш
					БР 5.6.14.1.655 П3

- секційні вимикачі на боці 10 кВ;
- вимикачі ліній, що відходять, 10 кВ; роз'єднувачі вищої напруги;
- трансформатори струму і напруги 110 кВ і 10 кВ;
- ошиновка розподільних пристройів 110 кВ і 10 кВ.

Для вибору апаратів і струмоведучих частин необхідно визначити струми нормального і післяаварійного режимів. Визначення струмів виконується для випадку установки на підстанції силового трансформатора. Розрахованого відповідно до графіка навантаження підстанції.

Струм на боці 110 кВ:

$$I_{\max}^{\text{BH}} = \frac{1,4 \cdot S_{\text{ном}}}{\sqrt{3} \cdot U_{\text{BH}}} = (1,4 \cdot 25) / (1,73 \cdot 110) = 184 \text{ A.}$$

Струм у колі ввідних вимикачів на стороні 10 кВ:

$$I_{\max}^{\text{HH}} = \frac{1,4 \cdot S_{\text{ном}}}{\sqrt{3} \cdot U_{\text{HH}}} = (1,4 \cdot 25) / (1,73 \cdot 10) = 2,02 \text{ kA.}$$

Струм у колі секційного вимикача:

$$I_{\max}^{\text{CB}} = \frac{1,4 \cdot S_{\text{ном}}}{\sqrt{3} \cdot U_{\text{HH}} \cdot 2} = (1,4 \cdot 25) / (1,73 \cdot 10 \cdot 2) = 1,01 \text{ kA.}$$

Струм у колі лінії, що відходить:

$$I_{\max}^{\text{LB}} = \frac{1,4 \cdot S_{\text{ном}}}{\sqrt{3} \cdot U_{\text{HH}} \cdot 10} = (1,4 \cdot 25) / (1,73 \cdot 10 \cdot 10) = 202 \text{ A.}$$

Для встановлення на стороні вищої напруги приймаємо вимикачі типу ЯЭ-110Л-23(13)У4. Вибір вимикачів наведений у табл. 2.3.

Зм.	Аркуш	№ докум.	Підпис	Дата	БР 5.6.14.1.655 ПЗ	Аркуш
						37

Таблиця 2.3 – Вибір вимикача на стороні 110 кВ

Умова вибору	Розрахункові значення	Каталожні значення
$U_C \leq U_H$	110 кВ	110 кВ
$I_{расч} \leq I_{ном}$	184 А	1250 А
$I_{PO} \leq I_{npCKB}$	3,695 кА	50 кА
$I_{yo} \leq I_{CKB}$	8,41 кА	125 кА
$I_{nt} \leq I_{OmkNom}$	3,695 кА	100 кА
$I_{at} \leq I_{a nom}$	0,474 кА	40 кА
$B_K \leq I_T^2 t_r$	1,161 кА <sup>2</sup> ·с	7500 кА <sup>2</sup> ·с

Для встановлення на стороні низької напруги приймаємо вимикачі типу ВВЭ-10-31,5/3150У3. Вибір вимикачів наведений у табл. 2.4.

Таблиця 2.4 – Вибір вимикачів у колі трансформатора на стороні 10 кВ

Умова вибору	Розрахункові значення	Каталожні значення
$U_C \leq U_H$	10 кВ	10 кВ
$I_{расч} \leq I_{ном}$	2,02 кА	3150 А
$I_{PO} \leq I_{npCKB}$	16,4 кА	31,5 кА
$I_{yo} \leq I_{CKB}$	37,34 кА	80 кА
$I_{nt} \leq I_{OmkNom}$	16,4 кА	31,5 кА
$I_{at} \leq I_{a nom}$	3,139 кА	31,5 кА
$B_K \leq I_T^2 t_r$	40,34 кА <sup>2</sup> ·с	2977 кА <sup>2</sup> ·с

Для установки в якості секційного на стороні нижчої напруги приймаємо вимикачі типу ВВЭ-10-31,5/1600У3. Вибір вимикачів наведено в табл. 2.5.

Таблиця 2.5 – Вибір секційного вимикача на боці 10 кВ

Умова вибору	Розрахункові значення	Каталожні значення
$U_C \leq U_H$	10 кВ	10 кВ
$I_{расч} \leq I_{ном}$	1,01 кА	1600 А
$I_{PO} \leq I_{npCKB}$	16,4 кА	31,5 кА
$i_y \leq I_{npCKB}$	37,34 кА	80 кА
$I_{nt} \leq I_{OmkNom}$	16,4 кА	31,5 кА
$I_{at} \leq I_{a nom}$	3,139 кА	31,5 кА
$B_K \leq I_T^2 t_r$	40,34 кА <sup>2</sup> ·с	2977 кА <sup>2</sup> ·с

Для встановлення на стороні нижчої напруги в лініях, що відходять, приймаємо вакуумні вимикачі типу ВВЭ-10-31,5/630У3. Вибір вимикачів наведено в табл. 2.6.

Таблиця 2.6 – Вибір вимикачів на лінію, що відходить 10 кВ

Умова вибору	Розрахункові значення	Каталожні значення
$U_C \leq U_H$	10 кВ	10 кВ
$I_{расч} \leq I_{ном}$	202 А	630 А
$I_{PO} \leq I_{npCKB}$	16,4 кА	31,5 кА
$i_y \leq I_{npCKB}$	37,34 кА	80 кА
$I_{nt} \leq I_{OmkNom}$	16,4 кА	31,5 кА
$I_{at} \leq I_{a\text{ном}}$	3,139 кА	31,5 кА
$B_K \leq I_T^2 t_r$	40,34 кА <sup>2</sup> ·с	2977 кА <sup>2</sup> ·с

Для встановлення на стороні вищої напруги приймаємо роз'єднувачі з одним або двома комплектами заземлюючих ножів типу РНДЗ.1-110/1000 ХЛ1. Вибір роз'єднувачів наведений у табл. 2.7.

Таблиця 2.7 – Вибір роз'єднувачів 110 кВ

Умова вибору	Розрахункові значення	Каталожні Значення
$U_C \leq U_H$	110 кВ	110 кВ
$I_{расч} \leq I_{ном}$	184 А	1000 А
$i_{y\partial} \leq I_{npCKB}$	8,41 кА	80 кА
$B_K \leq I_T^2 t_r$	1,161 кА <sup>2</sup> ·с	992 кА <sup>2</sup> ·с

## 2.4 Вибір збірних шин

Вибрати збірні шини 110 кВ та струмопровідні елементи в блоці від збірних шин до виводів блочного трансформатора. Трансформатор ТРДН-25000/110.

Оскільки збірні шини за економічною густиною струму не вибираються, приймаємо переріз за допустимим струмом при максимальному навантаженні на шинах, що відповідає загальному навантаженню.

$$I_{\text{норм}} = \frac{P_{\text{ном}}}{\sqrt{3} \cdot U_{\text{ном}}} = 33,5 / (1,73 \cdot 110) = 176 \text{ A.}$$

$$I_{\text{макс}} = I_{\text{норм}} = 176 \text{ A.}$$

За таблицею довідника приймаємо до встановлення провід 1хAC120/19 ( $q = 120 \text{ мм}^2$ ,  $d = 15,2 \text{ мм}$ ,  $I_{\text{доп}} = 380 \text{ A}$ ). Фази розташовані горизонтально на відстані 300 см. Тоді

$$I_{\text{доп}} > I_{\text{макс}},$$

$$380 \text{ A} > 176 \text{ A.}$$

Перевірка шин на електродинамічну стійкість не виконується, оскільки  $I_{\text{п.0}} < 20 \text{ кA}$ .

Перевірка на термічну стійкість також не виконується, оскільки шини виконані голими проводами на відкритому повітрі.

Перевірка за умовами коронування в даному випадку могла б не проводитися, оскільки згідно ПУЕ мінімальний переріз для повітряних ліній 110 кВ становить  $70 \text{ мм}^2$ . Враховуючи, що на ВРП відстань між проводами менша, ніж на повітряних лініях, проводиться перевірочний розрахунок.

Визначаємо початкову критичну напруженість електричного поля:

$$E_0 = 30,3 \cdot m \cdot \left( 1 + \frac{0,299}{\sqrt{r_0}} \right),$$

де  $m$  – коефіцієнт, який враховує шорсткість поверхні проводу (для багатопровідниковых проводів  $m = 0,82$ );  $r_0$  – радіус проводу,  $r_0 = 0,76 \text{ см}$ .

$$E_0 = 30,3 \cdot 0,82 \cdot \left( 1 + \frac{0,299}{\sqrt{0,76}} \right) = 33,4 \text{ кВ/см}$$

Зм.	Аркуш	№ докум.	Підпис	Дата	БР 5.6.14.1.655 ПЗ	Аркуш
						40

Визначаємо напруженість електричного поля навколо проводу

$$E = \frac{0.354 \cdot U}{r_0 \cdot \lg\left(\frac{D_{sep}}{r_0}\right)},$$

де  $U$  – лінійна напруга, кВ;

$D_{sep}$  – середня геометрична відстань між проводами фаз, см.

При горизонтальному розташуванні фаз

$$D_{sep} = 1.26 \cdot D = 100,8,$$

де  $D$  – відстань між сусідніми фазами, для  $U_h=110$  кВ  $D = 80$  см.

$$E = (0.354 \cdot 121) / (0.76 \cdot \lg(100,8/0,76)) = 26,55 \text{ кВ/см.}$$

В останньому виразі лінійна напруга прийнята рівною 121 кВ, оскільки на шинах електростанції підтримується напруга 1,1  $U_{nom}$ .

Перевірка виконується за наступною умовою: проводи не будуть коронувати, якщо

$$1,07 \cdot E \leq 0,9 \cdot E_0,$$

$$1,07 \cdot 26,55 = 28,4 < 0,9 \cdot 33,4 = 30,1 \text{ кВ/см.}$$

Умова виконується, тому провід 1xAC120/19 остаточно приймаємо до використання.

### Вибір жорстких шин

Приймаємо температуру навколишнього середовища: 30°C.

Обираємо алюмінієві шини коробчастого перерізу розташовані горизонтально і жорстко закріплені одна відносно одної (2x75x35x5,5 мм, перерізом 2x695  $\text{мм}^2$ ,  $I_{dop}=2670\text{A}$ ).

Зм.	Аркуш	№ докум.	Підпис	Дата	БР 5.6.14.1.655 ПЗ	Аркуш
41						

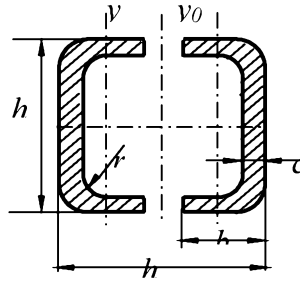


Рисунок 2.4 – Шини коробчастого перерізу

$$v_{\text{доп}} = 70^{\circ}\text{C}, v_{\text{факт}} = 30^{\circ}\text{C}, v_{\text{норм}} = 25^{\circ}\text{C}.$$

Умова за допустимим струмом:

$$I_{\text{max}}^{\text{HH}} = 2020 \text{ A} \leq I_{\text{доп}} = 2670 \text{ A},$$

умова виконується.

Припустимий струм з урахуванням поправки на температуру навколишнього середовища:

$$I'_{\text{don}} = I_{\text{don}} \cdot \sqrt{\frac{v_{\text{доп}} - v_{\text{факт}}}{v_{\text{доп}} - v_{\text{норм}}}} = 2670 \cdot \sqrt{\frac{70 - 30}{70 - 25}} = 2517 \text{ A},$$

де  $v_{\text{доп}}$  – допустима температура шини;

$v_{\text{норм}}$  – номінальна температура навколишнього середовища.

$$2020 \text{ A} < 2517 \text{ A}.$$

Мінімальний термічно стійкий переріз:

$$q_{\text{min.don}} = \frac{\sqrt{B_R}}{C} = \frac{\sqrt{40,34}}{90 \cdot 10^{-3}} = 70,6 \text{ mm}^2.$$

Оскільки  $q_{\text{min.don}} = 70,6 \leq 2 \times 695 \text{ mm}^2$  термічна стійкість шин забезпечується.

Зм.	Аркуш	№ докум.	Підпис	Дата

Тверді шини повинні бути перевірені на динамічні дії струмів КЗ і на можливість виникнення резонансних явищ. Зазначені явища не виникають при КЗ, якщо власна частота коливань шини менше 30 і більше 200 Гц. Частота власних коливань для алюмінієвих шин визначається за формуллою

$$f_0 = \frac{173.2}{l^2} \cdot \sqrt{\frac{J_{y0-y0}}{2 \cdot q_{\text{шини}}}} = \frac{173.2}{2^2} \cdot \sqrt{\frac{113}{2 \cdot 6,95}} = 494 \text{ Гц}$$

де  $l$  – довжина прольоту між ізоляторами  $l = 1 \text{ м}$ , м;

$J_{y0-y0}$  – момент інерції поперечного перерізу двох зрощених шин,  $\text{см}^4$ ;

$q_{\text{шини}}$  – поперечний переріз однієї шини,  $\text{см}^2$ .

Оскільки  $f_0 = 494 \geq 200 \text{ Гц}$ , то механічний резонанс виключається.

Момент опору перерізу для двох зрощених шин:

$$\sigma_{\phi,\max} = 1,76 \cdot \frac{i_{\text{уд}}^2 \cdot l^2}{a \cdot W_{y0-y0}} \cdot 10^{-8} = 1,76 \cdot \frac{37,34^2 \cdot 2^2 \cdot 10^{-2}}{0,8 \cdot 30,1} = 4,076 \text{ МПа}$$

де  $a$  – відстань між фазами, м;

$W_{y0-y0}$  – момент опору двох зрощених шин,  $\text{см}^3$ .

$\sigma_{\phi,\max} = 4,076 \leq \sigma_{\text{доп}} = 82,3 \text{ МПа}$  умова механічної міцності виконується.

де  $\sigma_{\text{доп}} = 82,3 \text{ МПа}$  – допустима механічна напруга в матеріалі алюмінієвих шин.

Сила взаємодії між швелерами:

$$f_{\pi} = 0,5 \cdot \frac{i_{\text{уд}}^2}{h} \cdot 10^{-7} = 0,5 \cdot \frac{37,34^2}{0,075} \cdot 10^{-1} = 930 \text{ Н/м}$$

де  $h$  - висота швелера, м.

Максимальна відстань між місцями зварювання швелерів:

$$l_{\pi,\max} = \sqrt{\frac{12 \cdot (\sigma_{\text{доп}} - \sigma_{\phi,\max}) \cdot W_{y-y}}{f_{\pi}}} = \sqrt{\frac{12 \cdot (82,3 - 4,076) \cdot 3,17}{930}} = 1,79 \text{ м}$$

Зм.	Аркуш	№ докум.	Підпис	Дата

де  $W_{y-y}$  – момент опору шин у вертикальній площині, см<sup>3</sup>.

## 2.5 Вибір вимірювальних трансформаторів струму та напруги

Для ввімкнення електровимірювальних приладів і пристроїв релейного захисту необхідна установка трансформаторів струму і напруги. У даному проекті релейний захист детально не розробляється, тому перевірку трансформаторів за вторинним навантаженням виконуємо з урахуванням ввімкнення тільки вимірювальних приладів.

У колі силового трансформатора з боку нижчої напруги встановлюється амперметр, вольтметр, варметр, лічильники активної і реактивної енергії, на шинах 110 кВ – вольтметр із перемикачем для виміру трьох міжфазових напруг, на секційному вимикачі 10 кВ - амперметр, на лініях, що відходять, 10 кВ - амперметр, лічильники активної і реактивної енергій. Розрахунок вторинного навантаження трансформатора струму наведений у таблиці 2.8.

Таблиця 2.8 – Розрахунок вторинного навантаження трансформаторів струму

Прилад	Клас	Навантаження по фазах		
		A	B	C
Амперметр	1	0,5	0,5	0,5
Ваттметр	1,5	0,5	-	0,5
Варметр	1,5	0,5	-	0,5
Лічильник активної енергії	1	2,5	-	2,5
Лічильник реактивної енергії	1,5	2,5	-	2,5
Сумарне навантаження струму в колі силового тр-ра на боці ВН		0,5	0,5	0,5
Сумарне навантаження струму в колі силового тр-ра з боку НН		6,5	0,5	6,5
Сумарне навантаження струму в колі секц. вимикача на НН		0,5	0,5	0,5
Сумарне навантаження струму в колі відхідної лінії		0,5	0,5	0,5

Вибір трансформаторів струму наведений у таблицях 2.9 - 2.12.

Вибираємо трансформатор струму ТФЗМ-110Б-І.

Таблиця 2.9 – Вибір трансформатора струму в колі силового трансформатора на боці високої напруги 110 кВ:

Умова вибору	Розрахункові значення	Каталожні значення
$U_c \leq U_H$	110 кВ	110 кВ
$I_{расч} \leq I_{ном}$	184 А	800 А
$i_y \leq I_{npCKB}$	8,41 кА	124 кА
$B_K \leq I_T^2 t_r$	1,161 $\text{kA}^2 \cdot \text{с}$	2352 $\text{kA}^2 \cdot \text{с}$
$Z_H \leq Z_{H,ном}$	0,82 Ом	1,2 Ом

Для перевірки за вторинним навантаженням визначаємо опір приладів

$$Z_{\text{прил}} = \frac{S_{\text{прил}}}{I^2} = \frac{0,5}{5^2} = 0,02 \text{ Ом}$$

Тоді опір сполучних проводів може бути

$$Z_{\text{пр}} = Z_{\text{ном}} - Z_{\text{прил}} - Z_{\text{к}}$$

де  $Z_{\text{пр}}$  – номінальний опір навантаження, Ом;

$Z_{\text{прил}}$  – опір приладів, Ом;

$Z_{\text{к}}$  – опір контактів, Ом.

$$Z_{\text{пр}} = 1,2 - 0,02 - 0,1 = 1,08 \text{ Ом.}$$

Перетин жил при довжині кабеля  $l = 100$  м:

$$F = \rho \cdot \frac{l}{Z_{\text{пр}}} = 0.0175 \cdot \frac{100}{1.08} = 1.62 \text{ мм}^2$$

де  $\rho$  – питомий опір міді,  $0,0175 (\text{Ом} \cdot \text{мм}^2 / \text{м})$ ,

$F$  – перетин жил,  $\text{мм}^2$ .

Зм.	Аркуш	№ докум.	Підпис	Дата	БР 5.6.14.1.655 ПЗ	Аркуш
						45

Перетин сполучних проводів за умовами механічної міцності повинний бути не менше ніж  $2,5 \text{ мм}^2$  для мідних жил.

Опір обраних проводів:

$$Z_{\text{пр}} = \rho \cdot \frac{l}{F} = 0.0175 \cdot \frac{100}{2,5} = 0.7 \text{ Ом}$$

Загальний опір струмового кола

$$Z_H = Z_{\text{прил}} + Z_k + Z_{\text{пр}} = 0,02 + 0,1 + 0,7 = 0,82 \text{ Ом}$$

що менше ніж  $1,2 \text{ Ом}$ , припустимих при роботі трансформатора в класі точності  $0,5$ .

Трансформатор струму ТФЗМ-110Б-І відповідає умовам вибору.

Вибираємо трансформатор струму ТШЛ-10-У3.

Таблиця 2.10 – Вибір трансформатора струму у колі трансформатора на боці  $10 \text{ кВ}$

Умова вибору	Розрахункові значення	Каталожні значення
$U_C \leq U_H$	$10 \text{ кВ}$	$10 \text{ кВ}$
$I_{\text{расч}} \leq I_{\text{ном}}$	$2020 \text{ А}$	$3000 \text{ А}$
$i_y \leq i_{\text{дин}}$	$37,34 \text{ кА}$	-
$B_K \leq I_T^2 t_r$	$40,34 \text{ кA}^2 \cdot \text{с}$	$3250 \text{ кA}^2 \cdot \text{с}$
$Z_H \leq Z_{H,\text{ном}}$	$0,8 \text{ Ом}$	$0,8 \text{ Ом}$

Для перевірки за вторинним навантаженням визначаємо опір приладів

$$Z_{\text{прил}} = \frac{S_{\text{прил}}}{I^2} = \frac{6,5}{5^2} = 0,26 \text{ Ом}$$

Зм.	Аркуш	№ докум.	Підпис	Дата	Аркуш
					46

Тоді опір сполучних проводів може бути

$$Z_{\text{пр}} = Z_{\text{ном}} - Z_{\text{прил}} - Z_{\text{k}}$$

де  $Z_{\text{пр}}$  – номінальний опір навантаження, Ом;  
 $Z_{\text{прил}}$  – опір приладів, Ом;  
 $Z_{\text{k}}$  – опір контактів, Ом.

$$Z_{\text{пр}} = 0,8 - 0,26 - 0,1 = 0,44 \text{ Ом.}$$

Перетин жил при довжині кабеля  $l = 100$  м:

$$F = \rho \cdot \frac{l}{Z_{\text{пр}}} = 0,0175 \cdot \frac{100}{0,44} = 3,98 \text{ мм}^2$$

де  $\rho$  – питомий опір міді,  $0,0175$  ( $\text{Ом} \cdot \text{мм}^2/\text{м}$ ),  
 $F$  – перетин жил,  $\text{мм}^2$ .

Перетин сполучних проводів за умовами механічної міцності повинний бути не менше ніж  $4 \text{ мм}^2$  для мідних жил.

Опір обраних проводів:

$$Z_{\text{пр}} = \rho \cdot \frac{l}{F} = 0,0175 \cdot \frac{100}{4} = 0,44 \text{ Ом.}$$

Загальний опір струмового кола

$$Z_{\text{H}} = Z_{\text{прил}} + Z_k + Z_{\text{пр}} = 0,26 + 0,1 + 0,44 = 0,8 \text{ Ом.}$$

що менше ніж  $0,8$  Ом, припустимих при роботі трансформатора в класі точності  $0,5$ .

Трансформатор струму ТШЛ-10-У3 відповідає умовам вибору.

Вибираємо трансформатор струму ТШЛ-10-У3.

Зм.	Аркуш	№ докум.	Підпис	Дата	БР 5.6.14 1.655 ПЗ	Аркуш
						47

Таблиця 2.11 – Вибір трансформатора струму в колі секційного вимикача 10 кВ

Умова вибору	Розрахункові значення	Каталожні значення
$U_C \leq U_H$	10 кВ	10 кВ
$I_{расч} \leq I_{ном}$	1,01 кА	2000 А
$i_y \leq i_{он}$	37,34 кА	-
$B_K \leq I_T^2 t_r$	40,34 кА <sup>2</sup> ·с	3250 кА <sup>2</sup> ·с
$Z_H \leq Z_{H,ном}$	0,56 Ом	0,8 Ом

Для перевірки за вторинним навантаженням визначаємо опір приладів

$$Z_{прил} = \frac{S_{прил}}{I^2} = \frac{0,5}{5^2} = 0,02 \text{ Ом}$$

Тоді опір сполучних проводів може бути

$$Z_{пр} = Z_{ном} - Z_{прил} - Z_{к}$$

де  $Z_{пр}$  – номінальний опір навантаження, Ом;

$Z_{прил}$  – опір приладів, Ом;

$Z_{к}$  – опір контактів, Ом.

$$Z_{пр} = 0,8 - 0,02 - 0,1 = 0,68 \text{ Ом.}$$

Перетин жил при довжині кабеля  $l = 100$  м:

$$F = \rho \cdot \frac{l}{Z_{пр}} = 0,0175 \cdot \frac{100}{0,68} = 2,57 \text{ мм}^2$$

де  $\rho$  – питомий опір міді, 0,0175 (Ом·мм<sup>2</sup>/м),

$F$  – перетин жил, мм<sup>2</sup>.

Перетин сполучних проводів за умовами механічної міцності повинний бути не менше ніж 4 мм<sup>2</sup> для мідних жил.

Зм.	Аркуш	№ докум.	Підпис	Дата	БР 5.6.14.1.655 ПЗ	Аркуш
						48

Опір обраних проводів:

$$Z_{\text{пр}} = \rho \cdot \frac{l}{F} = 0.0175 \cdot \frac{100}{4} = 0,438 \text{ Ом.}$$

Загальний опір струмового кола

$$Z_H = Z_{\text{прил}} + Z_k + Z_{\text{пр}} = 0.02 + 0.1 + 0,438 = 0,56 \text{ Ом.}$$

що менше ніж 0,8 Ом, припустимих при роботі трансформатора в класі точності 0,5.

Трансформатор струму ТШЛ-10-У3 відповідає умовам вибору.

Вибираємо трансформатор струму ТШЛП-10-У3.

Таблиця 2.12 – Вибір трансформатора струму на лінії, що відходить

Умова вибору	Розрахункові значення	Каталожні значення
$U_C \leq U_H$	10 кВ	10 кВ
$I_{\text{расч}} \leq I_{\text{ном}}$	202 А	1000 А
$i_y \leq i_{\text{дин}}$	37,34 кА	-
$B_K \leq I_T^2 t_r$	40,34 кА <sup>2</sup> ·с	3250 кА <sup>2</sup> ·с
$Z_H \leq Z_{H,\text{ном}}$	0,56 Ом	0,8 Ом

Для перевірки за вторинним навантаженням визначаємо опір приладів

$$Z_{\text{прил}} = \frac{S_{\text{прил}}}{I^2} = \frac{0,5}{5^2} = 0,02 \text{ Ом}$$

Тоді опір сполучних проводів може бути

$$Z_{\text{пр}} = Z_{\text{ном}} - Z_{\text{прил}} - Z_k$$

де  $Z_{\text{пр}}$  – номінальний опір навантаження, Ом;

$Z_{\text{прил}}$  – опір приладів, Ом;

$Z_k$  – опір контактів, Ом.

Зм.	Аркуш	№ докум.	Підпис	Дата	Аркуш
					БР 5.6.14.1.655 П3

$$Z_{\text{пр}} = 0,8 - 0,02 - 0,1 = 0,68 \text{ Ом.}$$

Перетин жил при довжині кабеля  $l = 100$  м:

$$F = \rho \cdot \frac{l}{Z_{\text{пр}}} = 0,0175 \cdot \frac{100}{0,68} = 2,57 \text{ мм}^2$$

де  $\rho$  – питомий опір міді,  $0,0175 (\text{Ом} \cdot \text{мм}^2/\text{м})$ ,

$F$  – перетин жил,  $\text{мм}^2$ .

Перетин сполучних проводів за умовами механічної міцності повинний бути не менше ніж  $4 \text{ мм}^2$  для мідних жил.

Опір обраних проводів:

$$Z_{\text{пр}} = \rho \cdot \frac{l}{F} = 0,0175 \cdot \frac{100}{4} = 0,438 \text{ Ом.}$$

Загальний опір струмового кола

$$Z_h = Z_{\text{прил}} + Z_k + Z_{\text{пр}} = 0,02 + 0,1 + 0,438 = 0,56 \text{ Ом.}$$

що менше ніж  $0,8 \text{ Ом}$ , припустимих при роботі трансформатора в класі точності  $0,5$ .

Трансформатор струму ТШЛП-10-У3 відповідає умовам вибору.

Обираємо трансформатори напруги за заданими значеннями напруги та за потужністю.

На боці високої напруги  $110 \text{ кВ}$  обираємо трансформатори НКФ-110-58У1, на боці  $10 \text{ кВ}$  – ЗНОЛ.09-10.02, використовуючи дані із таблиць наведених у довідниках.

							Аркуш
Зм.	Аркуш	№ докум.	Підпис	Дата		БР 5.6.14.1.655 ПЗ	50

Таблиця 2.13 – Вибір трансформатора напруги з боку ВН

Тип	Клас напруги	Номінальна напруга обмоток			Номінальна потужність, В·А, в класі точності				Максимальна потужність, В·А
		Первинної, кВ	Основної вторинної, В	Додаткової, В	0,2	0,5	1	3	
НКФ-110-58У1	110	110/ $\sqrt{3}$	100/ $\sqrt{3}$	100/3	-	400	600	1200	2000

Таблиця 2.14 – Вибір трансформатора напруги з боку НН

Тип	Клас напруги	Номінальна напруга обмоток			Номінальна потужність, В·А, в класі точності				Максимальна потужність, В·А
		Первинної, кВ	Основної вторинної, В	Додаткової, В	0,2	0,5	1	3	
ЗНОЛ.09-10.02	10	10/ $\sqrt{3}$	100/ $\sqrt{3}$	100	50	75	150	300	630

## 2.6 Обґрунтування схеми електричних з'єднань підстанції

Основна схема електричних з'єднань повинна задовольняти такі вимоги [4]:

- забезпечувати надійність електропостачання в нормальних й післяаварійних режимах;
- ураховувати перспективи розвитку;
- допускати можливість розширення;
- забезпечувати можливість виконання ремонтних і експлуатаційних робіт на окремих елементах схеми й без відключення приєднань.

При цьому слід застосовувати найпростіші схеми.

Підстанція відноситься до класу тупикових підстанцій. Для даного класу напруги, набору зовнішніх приєднань і потужності трансформаторів, з урахуванням того, що застосування віддільників в умовах холодного клімату не рекомендується, приймаємо до установки на проектованій підстанції схему «два блоки «лінія - трансформатор» з вимикачем у колі трансформатора та неавтоматичною перемичкою» (рис. 2.5).

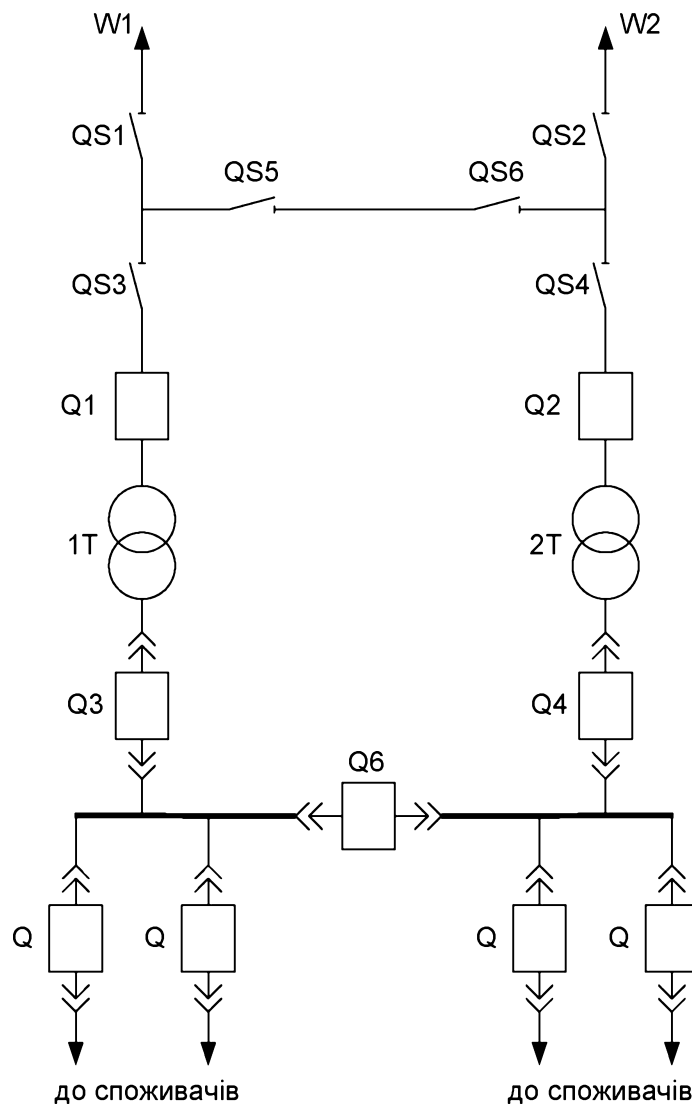


Рисунок 2.5 – Схема розміщення високовольтних апаратів на підстанції

Схема з ремонтною перемичкою, виконаною за допомогою роз'єднувачів («неавтоматичною» перемичкою), забезпечує можливість приєднання обох трансформаторів до однієї лінії при ремонті іншої.

Схема підстанції наведена на графічній частині проекту.

У нормальному режимі все комутаційне обладнання включене, за винятком роз'єднувачів QS3...QS4 у ремонтній перемичці. Повітряні лінії W1, W2 - лінії, які з'єднують проектовану підстанцію з енергосистемою.

Розглянемо наслідки аварійних ситуацій у даній схемі:

- 1) Відмова одного із трансформаторів (припустимо T1). При короткому замиканні в трансформаторі T1 відбувається відключення вимикача Q1. Живлення споживачів підстанції здійснюється через трансформатор T2 за рахунок

Зм.	Аркуш	№ докум.	Підпис	Дата	Аркуш
					БР 5.6.14 1.655 ПЗ

його перевантажувальної здатності.

2) Відмова однієї лінії, яка з'єднує споживачів з електростанцією (W1). При короткому замиканні на лінії W1 відбувається відключення вимикача Q1, трансформатор T1 втрачає живлення. Після відключення W1 оперативний персонал відключає ушкоджену лінію лінійним роз'єднувачем. Після цього замикається раніше відключений роз'єднувач QS3, відбувається включення Q1 і трансформатор T1 відновлює живлення.

3) Відмова одного з вимикачів (Q1). При короткому замиканні у вимикачі Q1 відключається головний вимикач і лінія W1. Живлення всіх споживачів підстанції здійснюється від лінії W2 і трансформатора T2.

Таким чином, з наведеного аналізу видно, що при використанні даної схеми відсутній варіант простої (одиночної) аварійної ситуації, яка приводить до відключення споживачів проектованої підстанції.

Найбільш важкою аварійною ситуацією є відмова однієї з живильних ліній (W1) у період ремонту одного із трансформаторів (T2), але й у цьому випадку є можливість забезпечити живлення споживачів проектованої підстанції від лінії W2 через ремонтну перемичку QS3-QS4 і трансформатор T1.

## 2.7 Вибір трансформаторів власних потреб

Приймачами власниками власних потреб є [10]:

- оперативні кола;
- електродвигуни, системи охолодження силових трансформаторів, висвітлення і електроопалення приміщень;
- електропідігрівання комутаційної апаратури і т.д.

Сумарна розрахункова потужність приймача власних потреб визначається з урахуванням коефіцієнтів попиту. Розрахунок потужності приймача власних потреб наведений у табл. 2.15.

На підстанції передбачається установка 2 трансформаторів власних потреб. Номінальна потужність вибирається з умов

Зм.	Аркуш	№ докум.	Підпис	Дата

БР 5.6.14.1.655 П3

Аркуш

53

$$S_{TCH} \geq S_{CH},$$

де  $S_{TCH}$  - потужність трансформатора власних потреб, кВА;  
 $S_{CH}$  - потужність споживачів власних потреб, кВА.

Таблиця 2.15 – Розрахунок потужності приймача власних потреб

№ п/п	Найменування споживача	Установлена потужність		Коеф. потреби	$\cos\varphi$	Навантаження	
		Одиниці, кВт x кількість	Всього, кВт			$P_{уст}$ , кВт	$Q_{уст}$ , кВАр
1	Охолодження трансформаторів ТРДН-25000/110	2x5	10	0,8	0,85	10	6,2
2	Підігрів високовольтних вимикачів зовнішньої установки	2x4	8	0,8	1	8	-
3	Підігрів приводів роз'єднувачів зовнішньої установки	4x0,6	2,4	0,8	1	2,4	-
4	Опалення, освітлення, вентиляція закритого РУ	-	5	0,8	1	5	-
5	Освітлення РУ	-	2	0,8	1	2	-
Всього						27,4	6,2

#### Розрахункове навантаження

$$S_{уст} = K_C \cdot \sqrt{P_{уст}^2 + Q_{уст}^2}$$

де  $K_C$  – коефіцієнт попиту. Приймаємо рівним 0,8

$$S_{уст} = 0,8 \cdot \sqrt{27,4^2 + 6,2^2} = 22,5 \text{ кВА}$$

							Аркуш
Зм.	Аркуш	№ докум.	Підпис	Дата		БР 5.6.14.1.655 П3	54

Під час ввімкнення цього навантаження на один трансформатор допускається його перевантаження на 20%. Потужність трансформатора для забезпечення живлення навантаження власних потреб з урахуванням ремонтних навантажень. Ремонтне навантаження на підстанції можна брати таким, що дорівнює  $S_{TCP} = 20 - 25$  кВА.

$$S_{TCH} = \frac{S_{CH} + S_{TCP}}{1,2} = \frac{22,5 + 20}{1,2} = 35,4 \text{ кВА.}$$

Беремо стандартну потужність трансформатора  $S_{TCH} = 40$  кВА. Остаточно для живлення споживача власних потреб беремо два трансформатори стандартної потужності: ТМ-40/10.

## 2.8 Компонування розподільних пристройів на боці 110 кВ

Підстанції (ПС) 110 кВ споруджують, як правило, відкритими.

Спорудження закритих ПС напругою 110 кВ, допускається в таких випадках [9]: розміщення ПС із трансформаторами 16 МВА і вище на службовій території міст, розміщення ПС на території міст, коли це допускається містобудівним міркуванням.

На ПС електропостачання промислових підприємств передбачається водяне опалення, приєднане до теплових мереж підприємств.

Будинки ЗРУ (закритих РУ) допускається виконувати як окремо розміщені, так і зблокованими з будинками РПУ в тому числі і по вертикалі.

Трансформатори 110 кВ варто установлювати відкритими, а у районах із забрудненою атмосферою з посиленою ізоляцією.

Схеми для напруг 110 кВ і вище повинні складатися з урахуванням таких вимог: ремонт вимикачів 110 кВ і вище виконується без відключення приєднань: повітряні лінії відключаються від РП не більше ніж двома вимикачами, трансформатори блоків відключаються не більше ніж трьома вимикачами і т.ін.

						Аркуш
Зм.	Аркуш	№ докум.	Підпис	Дата		55
					БР 5.6.14.1.655 ПЗ	

При відключеннях вимикачів у нормальному режимі РП не повинне відключати більше одного блока, у ремонтному - не більше двох блоків.

Для РП35-220 кВ при числі приєднань 12-16 одну з двох систем секціонують, при числі приєднань більш ніж 16 – секціонують обидві системи шин.

## 2.9 Компонування розподільних пристройів на боці 10кВ

РП 10 кВ входять до складу підстанцій як головні РП. До РП10 кВ підстанцій підключаються понижуючі трансформатори, синхронні компенсатори та ін.

Схеми РП10 кВ повинні задовольняти наступним вимогам [4-6]: неспрацювання вимикача не повинне приводити до припинення електропостачання відповідальних споживачів (1 категорія по ПУЭ), розширення РП з ростом навантажень не повинне приводити до зміни схеми і значних будівельних і монтажних робіт.

Секціювання збірних шин дозволяє задовольнити вимоги надійності. Розширення РП здійснюється заповненням резервних осередків або введенням нової секції.

РУ 10 кВ для комплектних трансформаторів ПС виконується у вигляді КРУН або КРУ, встановлюваних у закритих приміщеннях. У ЗРУ 10 кВ рекомендується встановлювати шафи КРУ заводського виготовлення.

Зм.	Аркуш	№ докум.	Підпис	Дата	БР 5.6.14.1.655 ПЗ	Аркуш
						56

### З РОЗРАХУНОК РЕЛЕЙНОГО ЗАХИСТУ ТРАНСФОРМАТОРА

#### 3.1 Визначення параметрів, необхідних для розрахунку захистів трансформатора

1. Розраховуємо захист для трансформатора типу ТРДН-25000/110, каталожні дані якого наведено в таблиці 3.

Трансформатор отримує живлення від енергосистеми з параметрами  $x_{c,max} = 12 \text{ Ом}$ ;  $x_{c,min} = 18 \text{ Ом}$  (опори приведені до  $U_{cp,nom} = 115 \text{ кВ}$ ).

2. Для складання схеми заміщення (рис. 3.1) розрахуємо опори трансформатора:

а) загальний індуктивний опір:

$$x_m = \frac{U_k}{100} \cdot \frac{U_{cp,nom}^2}{S_h} = \frac{10,5}{100} \cdot \frac{115^2}{25} = 55,54 \text{ Ом.}$$

б) опір обмотки вищої напруги:

$$x_e = 0,125x_m = 0,125 \cdot 55,54 = 6,94 \text{ Ом.}$$

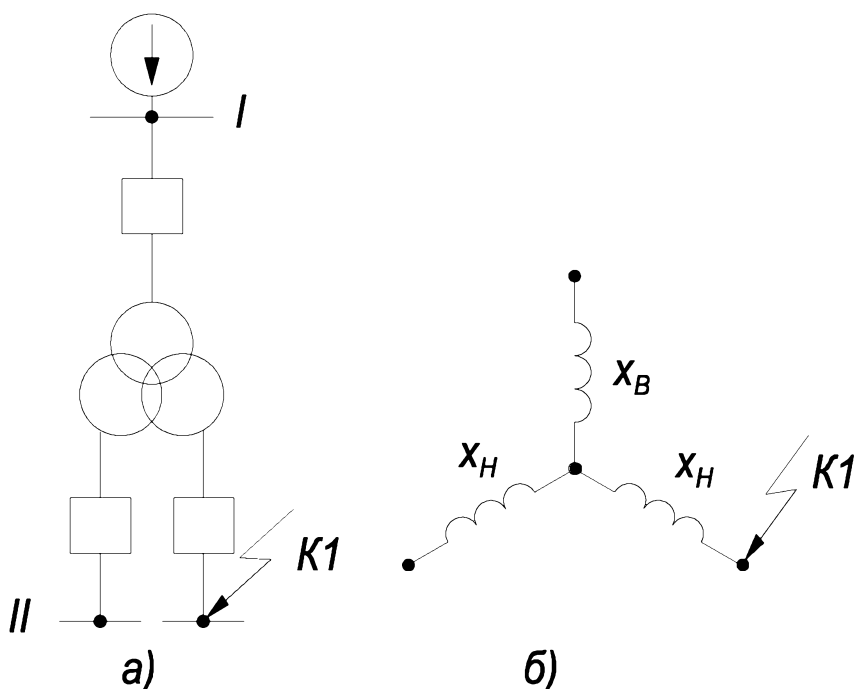


Рисунок 3.1 – Пояснююча схема (а) і схема заміщення (б) трансформатора з розщепленою обмоткою

Зм.	Аркуш	№ докум.	Підпис	Дата

в) опір обмотки нижчої напруги:

$$x_h = 1,75 x_m = 1,75 \cdot 55,54 = 97,2 \text{ Ом.}$$

3. При розрахунках струмів КЗ для захистів трансформаторів із РПН слід урахувати зміну опору за рахунок регулювання напруги. Для трансформаторів 110 кВ приблизно можна прийняти:

$$x_{h,\min} = x_{h,nom} (1 - \Delta U)^2 = 97,2 \cdot (1 - 0,12)^2 = 75,3 \text{ Ом};$$

$$x_{h,\max} = x_{h,nom} (1 + \Delta U)^2 = 97,2 \cdot (1 + 0,12)^2 = 121,9 \text{ Ом.}$$

$$\text{Звідси } x_{e,\min} = x_{e,nom} (1 - \Delta U)^2 = 6,94 \cdot (1 - 0,12)^2 = 5,4 \text{ Ом};$$

$$x_{e,\max} = x_{e,nom} (1 + \Delta U)^2 = 6,94 \cdot (1 + 0,12)^2 = 8,7 \text{ Ом.}$$

4. Струм короткого замикання на шинах нижчої напруги (точка К1, рис. 3.1):

$$I_{k,\max}^{(3)} = \frac{U_{cp,nom}}{\sqrt{3}(x_{c,\max} + x_{e,\min} + x_{h,\min})} = \frac{115}{\sqrt{3}(12 + 5,4 + 75,3)} = 0,717 \text{ кА.}$$

$$I_{k,\min}^{(3)} = \frac{U_{cp,nom}}{2 \cdot (x_{c,\min} + x_{e,\max} + x_{h,\max})} = \frac{115}{2 \cdot (18 + 8,7 + 121,9)} = 0,387 \text{ кА.}$$

### 3.2 Розрахунок поздовжнього диференціального струмового захисту

1. Струм спрацьовування захисту визначається за більшою із двох розрахункових умов:

а) відбудування від кидка струму намагнічування, що виникає при включені трансформатора на холостий хід або при відновленні напруги після відключення КЗ, а також від перехідних струмів небалансу при зовнішніх КЗ:

Зм.	Аркуш	№ докум.	Підпис	Дата

$$I_{c.3} = k_{omc} \cdot I_{nom},$$

де  $k_{omc}$  - коефіцієнт відбудування, для реле типу РНТ  $k_{omc} = 1,3$ ;

$I_{nom}$  - номінальний струм тієї сторони трансформатора, напругу якої прийнято в якості розрахункової;

$$I_{nom} = \frac{S_m}{\sqrt{3} \cdot U_{cp.nom}} = \frac{25}{\sqrt{3} \cdot 115} = 0,126 \text{ кА.}$$

$$I_{c.3} = 1,3 \cdot 126 = 163,2 \text{ А.}$$

б) відбудування від максимального періодичного струму небалансу, що виникає при зовнішніх КЗ:

$$I_{c.3} \geq k_3 \cdot I_{нб.расч},$$

де  $k_3 = 1,3$  - коефіцієнт запасу по вибірковості;

$I_{нб.расч}$  - максимальний розрахунковий струм небалансу, визначений як сума трьох складових, пропорційних періодичній складовій струму КЗ,

$$I_{нб.расч} = I'_{нб.расч} + I''_{нб.расч} + I'''_{нб.расч}.$$

2. Складова струму  $I'_{нб.расч}$  обумовлена погрішністю трансформатора струму:

$$I'_{нб.расч} = k_{одн} \cdot \varepsilon \cdot I_{к.макс},$$

де  $k_{одн} = 1,0$ ;  $\varepsilon = 0,1$ ;  $I_{к.макс}$  - максимальний струм зовнішнього КЗ, приведений до розрахункового щабля напруги.

Зм.	Аркуш	№ докум.	Підпис	Дата

3. Складова  $I''_{нб.расч}$  обумовлена регулюванням коефіцієнта трансформації силового трансформатора (автотрансформатора) після того, як захист був збалансований на середніх відпайках. Ця складова визначається як сума струмів небалансу на сторонах, де є регулювання:

$$I''_{нб.расч} = \sum_{n=I}^{III} \Delta U_n \cdot I_{\kappa.макс.n},$$

де  $\Delta U_n$  - відносна погрішність регулювання напруги, приймається рівній половині діапазону регулювання сторони  $n$  трансформатора (якщо регулювання  $\pm 10\%$ , то  $\Delta U_n = 0,1$ );

$I_{\kappa.макс.n}$  - максимальний періодичний струм, що протікає по стороні  $n$  трансформатора.

4. Складова  $I'''_{нб.расч}$  обумовлена неточністю установки на реле розрахункових чисел витків:

$$I'''_{нб.расч} = \sum_{n=I}^{III} \Delta w_n \cdot I_{\kappa.макс.n},$$

де  $\Delta w_n = \frac{w_{n.расч} - w_n}{w_n}$  - погрішність вирівнювання для сторони  $n$

трансформатора. У цьому випадку при попередніх розрахунках ця складова не враховується.

5. З урахуванням наведених виразів виконуємо розрахунок струму спрацьовування захисту за умовою відбудування від струму небалансу:

$$I_{c.3} = k_3 (k_{одн} \cdot \varepsilon + \Delta U_I) I_{\kappa.макс}^{(3)} = 1,3 \cdot (1,0 \cdot 0,1 + 0,12) \cdot 717 = 205,0 \text{ A.}$$

Приймаємо більше значення  $I_{c.3} = 205,0 \text{ A.}$

Зм.	Аркуш	№ докум.	Підпис	Дата	БР 5.6.14.1.655 ПЗ	Аркуш
						60

6. Вибір типу реле робимо на основі оцінки чутливості захисту, який визначаємо приблизно, вважаючи, що весь струм пошкодження (приведений до вторинної сторони) попадає в реле. Попередня перевірка чутливості проводиться по первинному струму при двофазному КЗ на стороні НН, при цьому повинна виконуватися умова:

$$k_u = \frac{I_{\text{к.мин}}^{(2)}}{I_{c.3}} \geq 2,0,$$

$$k_u = \frac{387}{205,0} = 1,887 < 2.$$

7. Оскільки захист із реле типу РНТ не забезпечує чутливості, то застосовуємо реле типу ДЗТ-11, для якого струм спрацьовування захисту вибирається за умовами:

а) відбудування від кидка, що намагнічує струм

$$I_{c.3} = k_{omc} \cdot I_{nom} = 1,5 \cdot 126 = 188,3 \text{ A.}$$

б) відбудування від струму небалансу при КЗ на низькій стороні

$$I_{c.3} = k_3 \cdot (k_{odn} \cdot \varepsilon + \Delta U_I) I_{\text{к.макс}}^{(3)} = 1,5 (1,0 \cdot 0,1 + 0,12) \cdot 717 = 236,5 \text{ A.}$$

Струм спрацьовування захисту приймаємо за більшою з умов  $I_{c.3} = 236,5 \text{ A.}$

8. Визначаємо чутливість захисту при КЗ на стороні НН при мінімальному регулюванні:

$$k_u = \frac{I_{\text{к.мин}}^{(2)}}{I_{c.3}} = \frac{387}{236,5} = 1,636.$$

Це значення  $k_u$  трохи менше нормованого, однак, уже при номінальному

Зм.	Аркуш	№ докум.	Підпис	Дата	БР 5.6.14 1.655 ПЗ	Аркуш
						61

коефіцієнті трансформації трансформатора струм КЗ складе:

$$I_{\kappa, \text{мн}}^{(2)} = \frac{115}{2(18 + 6,94 + 97,2)} = 0,471 \text{ кА.}$$

Таким чином необхідний коефіцієнт чутливості забезпечується

$$k_u = \frac{471}{236,5} \approx 2.$$

Тому захист із реле ДЗТ-11 може бути застосований.

### 3.3 Вибір уставок реле типу ДЗТ-11

1. Визначаємо первинні номінальні струми для двох сторін обладнання, що захищається, по формулі:

$$I_{\text{ном.н}} = \frac{S_{\text{ном}}}{\sqrt{3} \cdot U_{\text{ном.н}}},$$

де  $S_{\text{ном}}$  - номінальна потужність трансформатора;

$U_{\text{ном.н}}$  - номінальна напруга сторони обладнання, що захищається.

2. Для сторони високої напруги 115 кВ:

$$I_{\text{ном.н}} = \frac{25000}{\sqrt{3} \cdot 115} = 126 \text{ А.}$$

Для сторони низької напруги 10,5 кВ:

$$I_{\text{ном.н}} = \frac{25000}{\sqrt{3} \cdot 10,5} = 1375 \text{ А.}$$

Зм.	Аркуш	№ докум.	Підпис	Дата

3. Визначаємо вторинні номінальні струми плечей захисту:

$$I_{\text{в.ном.н}} = \frac{I_{\text{ном.н}} k_{\text{cx.н}}}{K_{I,n}},$$

де  $k_{\text{cx.н}}$  - коефіцієнт схеми з'єднання вторинних обмоток трансформатора на стороні об'єкта, що захищається (при з'єднанні обмоток у  $k_{\text{cx}} = 1,0$  зірку; при з'єднанні обмоток у  $k_{\text{cx}} = \sqrt{3}$  трикутник);

$K_{I,n}$  - коефіцієнт трансформації трансформатора, прийнятий на стороні об'єкта, що захищається (при виборі коефіцієнта ТТ треба враховувати, щоб вторинні номінальні струми суттєво не перевищували паспортні значення струмів 5 А або 1 А). Сторона з найбільшим вторинним струмом приймається в якості основної, що забезпечує найменшу погрішність вирівнювання для реле.

4. Для сторони високої напруги 115 кВ:

$$I_{\text{в.ном.н}} = \frac{126 \cdot \sqrt{3}}{300 / 5} = 3,62 \text{ A.}$$

5. Для сторони низької напруги 10,5 кВ:

$$I_{\text{в.ном.н}} = \frac{1375}{2000 / 5} = 3,44 \text{ A.}$$

Враховуючи, що обмотка низької напруги трансформатора виконана розщепленою, отримане значення струму необхідно подвоїти -  $I_{\text{в.ном.н}} = 6,87 \text{ A.}$

Отримані розрахункові дані наводимо в табл. 3.1.

Зм.	Аркуш	№ докум.	Підпис	Дата	БР 5.6.14.1.655 ПЗ	Аркуш
						63

Таблиця 3.1 – Розрахунки первинних і вторинних струмів сторін трансформатора

Позначення параметрів	I – ВН-115 кВ	II - НН-10,5 кВ
$I_{ном.n}$ , А	402	4399
$K_{In}$	700/5	5000/5
Схема з'єднання трансформатора	трикутник	зірка
$I_{в.ном.n}$ , А	3,62	6,87

З таблиці 18 випливає, що в якості основної слід взяти сторону низької напруги (10,5 кВ), що має більший вторинний номінальний струм.

6. Струм спрацьовування реле для основної сторони трансформатора визначаємо по виразу:

$$I_{c.p.n} = \frac{I_{c.3} \cdot k_{cx} \cdot \left( \frac{U_{ном.расч}}{U_{ном.n}} \right)}{K_{I.n}},$$

де  $U_{ном.расч}$  - номінальна напруга сторони, відповідного розрахункового щабля напруги.

$$I_{c.p.n} = \frac{236,5 \cdot 1 \cdot \frac{115}{10,5}}{2000 / 5} = 6,48 \text{ А.}$$

7. Розрахункове число витків робочої обмотки для основної сторони визначаємо по формулі:

$$w_{омн.расч} = \frac{F_{cp}}{I_{c.p.омн}} = \frac{100}{6,48} = 15,4 \text{ витків.}$$

8. Приймаємо найближче менше ціле значення  $w_{раб.омн} = 15$  витків, що

Зм.	Аркуш	№ докум.	Підпис	Дата	БР 5.6.14.1.655 ПЗ	Аркуш
						64

забезпечує запас по вибірковості. При цьому фактичний струм спрацьовування реле становить:

$$I_{c.p.osn} = \frac{100}{15} = 6,67 \text{ A.}$$

9. Розрахунок числа витків для іншої сторони захисту вибираємо за умовами балансу на реле МДС захисту при зовнішньому КЗ або нормальному режимі (рисунок 3.2):

$$I_{\text{в.ном}I} \cdot w_I = I_{\text{в.ном}II} \cdot w_{II}$$

звідки

$$w_{\text{расч.н}} = w_{osn} \cdot \left( \frac{I_{\text{в.ном.osн}}}{I_{\text{в.ном.н}}} \right).$$

$$w_{\text{расч}} = 15 \cdot \frac{6,87}{3,62} = 28,46 \text{ витків.}$$

10. Приймаємо найближче ціле значення, що забезпечує найменшу погрішність вирівнювання  $w_I = 28$  витків.

11. Уточнений струм спрацьовування захисту з урахуванням погрішності вирівнювання знаходиться по виразах, наведених у п. 3.1:

$$I_{c.z} = k_3 (k_{odn} \cdot \varepsilon + \Delta U_I + \Delta w_I) \cdot I_{\text{к.макс}} = 1,5 \cdot (1,0 \cdot 0,1 + 0,12 + 0,016) \cdot 717 = 253,7 \text{ A},$$

$$\text{де } \Delta w_I = \frac{w_{\text{расч}} - w_I}{w_{\text{расч}}} = \frac{28,46 - 28}{28,46} = 0,016.$$

12. Уточнений розрахунковий струм спрацьовування реле визначаємо по формулі:

$$I_{cp.osn} = \frac{I_{c.z} \cdot k_{cx} \cdot \left( \frac{U_{cp.nom}}{U_{nomII}} \right)}{k_{I(II)}} = \frac{253,7 \cdot 1 \cdot \left( \frac{115}{10,5} \right)}{2000 / 5} = 6,95 \text{ A.}$$

Зм.	Аркуш	№ докум.	Підпис	Дата	Аркуш
					БР 5.6.14 1.655 П3

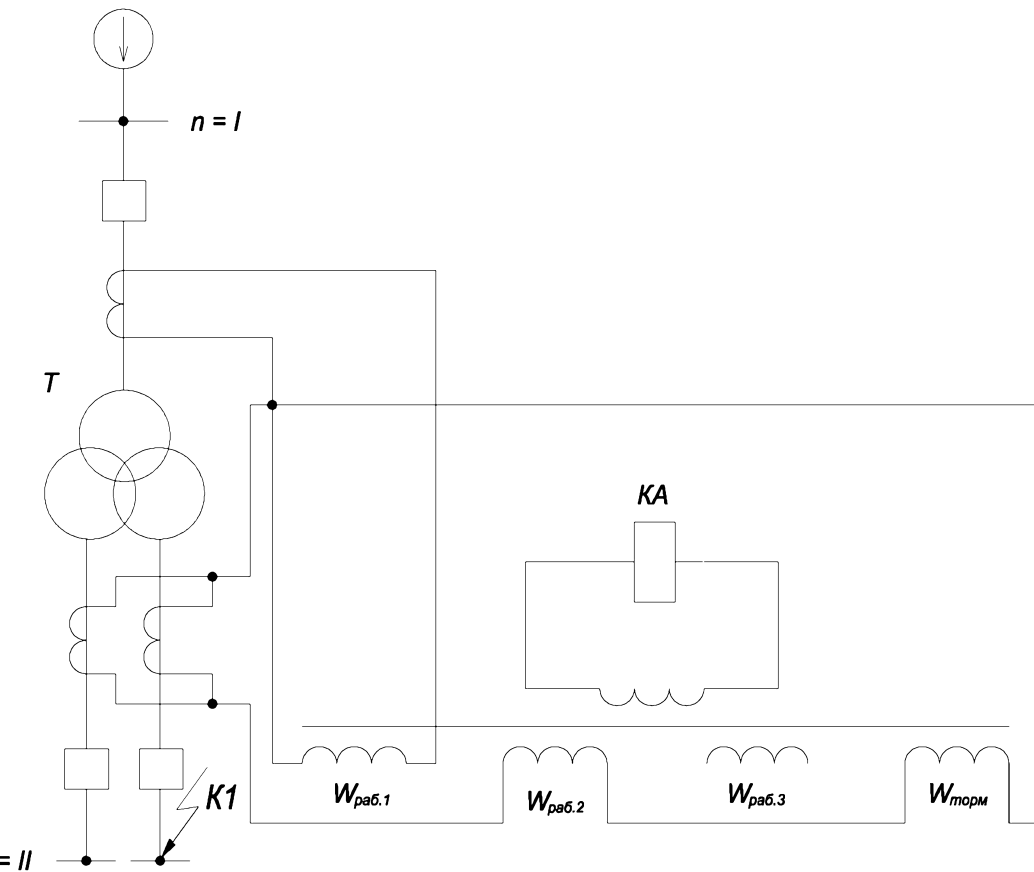


Рисунок 3.2 – Спрощена схема диференціального захисту з реле ДЗТ-11

13. Розрахунковий струм небалансу захисту при КЗ на стороні НН, де передбачене гальмування, з урахуванням погрішності вирівнювання знаходиться по виразах, наведених у п. 3.1:

$$I_{нб.расч} = k_3 \cdot (k_{nep} \cdot \varepsilon + \Delta U_I + \Delta w_{II}) I_{к.макс} = 1,5(1,0 \cdot 0,1 + 0,12 + 0,0287) \cdot 717 = \\ = 267,4 \text{ A.}$$

$$\text{де } \Delta w_{II} = \frac{15,4 - 15}{15,4} = 0,0287.$$

14. Число витків гальмівної обмотки, що забезпечує надійне відбудування реле від струму небалансу при даному видові КЗ, визначається по виразу:

$$w_{торм.n} = \frac{k_3 \cdot I_{нб.расч}}{I_{торм.n}} \cdot \frac{w_{раб.n}}{\operatorname{tg}\alpha},$$

Зм.	Аркуш	№ докум.	Підпис	Дата

де  $k_3 = 1,5$ ;

$I_{mopm.n}$  - первинний гальмівний струм на стороні трансформатора, що захищається, на якій включена гальмівна обмотка;

$\operatorname{tg}\alpha = 0,75$  - тангенс кута нахилу дотичної проведеної з початку координат до нижньої розрахункової по вибірковості гальмівної характеристики (рис. 3.3).

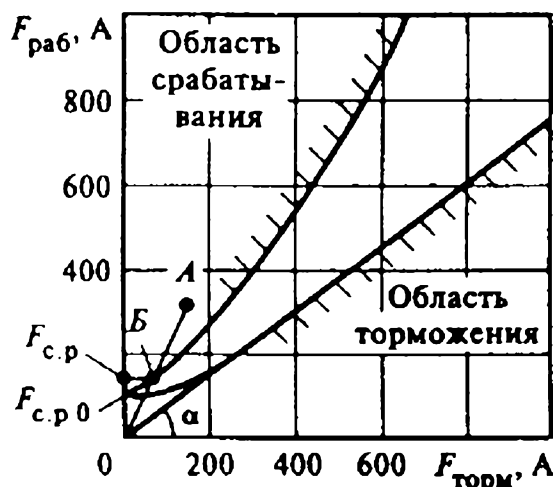


Рисунок 3.3 – Характеристика для визначення чутливості диференціального захисту з реле типу ДЗТ-11 при наявності гальмування

$$w_{mopm} = \frac{k_3 \cdot I_{nб.расч} \cdot w_{раб.n}}{I_{k.макс} \cdot \operatorname{tg}\alpha} = \frac{1,5 \cdot 267,4 \cdot 15}{717 \cdot 0,75} = 11,19 \approx 11 \text{ витків.}$$

Таким чином, до установки на реле приймаються наступні витки:

$$w_I = 28 \text{ шт.}, w_{II} = 15 \text{ шт.}, w_{mopm} = 11 \text{ шт.}$$

15. Чутливість захисту визначаємо приблизно по первинних струмах при розрахунковому КЗ на стороні НН для випадків мінімального й нормального регулювання трансформатора:

$$k_q = \frac{I_{k.\min}^{(2)}}{I_{c.z}},$$

Зм.	Аркуш	№ докум.	Підпис	Дата

де  $I_{c.3}$  – фактичний струм спрацьовування захисту, визначається з виразу

$$I_{c.p.n} = \frac{I_{c.3} \cdot k_{cx} \cdot \left( \frac{U_{\text{ном.расч}}}{U_{\text{ном.н}}} \right)}{K_{I.n}},$$

звідси

$$I_{c.3} = \frac{I_{c.p.n} \cdot K_{I.n}}{k_{cx} \cdot \left( \frac{U_{\text{ном.расч}}}{U_{\text{ном.н}}} \right)},$$

де  $I_{c.p.n} = I_{c.p.\text{осн}} = 6,67 \text{ A.}$

$$I_{c.3} = \frac{6,67 \cdot 2000 / 5}{1 \cdot \left( \frac{115}{10,5} \right)} = 243,5 \text{ A.}$$

16. Тоді визначаємо коефіцієнти чутливості:

$$k_{u1} = \frac{387}{243,5} = 1,59, \quad k_{u2} = \frac{471}{243,5} = 1,93.$$

Оскільки коефіцієнт чутливості захисту при нормальному регулюванні напруги практично відповідає нормованому, а при мінімальному регулюванні досить високий, то захист із реле ДЗТ-11 рекомендується до установки.

### **3.4 Розрахунок максимального струмового захисту з комбінованим пуском по напрузі**

1. Для двохобмоткових трансформаторів захист установлюється на стороні живлення (ВН) і виконується у двохрелейному виконанні із з'єднанням трансформатора в трикутник для підвищення чутливості.

Оскільки в цьому випадку обмотка НН розщеплена, то в колі кожного відгалуження встановлюється окрема МТЗ, як правило, з пуском по напрузі.

Зм.	Аркуш	№ докум.	Підпис	Дата	БР 5.6.14.1.655 ПЗ	Аркуш
						68

Захист діє із двома витримками часу: з першою витримкою відключається вимикач відгалуження НН, із другою – усі вимикачі об'єкта.

2. Спочатку визначаємо струм спрацьовування МТЗ без пуску по напрузі, який відбудовує від максимального струму навантаження з урахуванням самозапуску рухового навантаження:

$$I_{c.3} = \frac{k_3 \cdot k_c \cdot I_{\text{нагр.макс}}}{k_e},$$

де  $k_3 = 1,2$  - коефіцієнт запасу по вибірковості;

$k_e = 0,8$  - коефіцієнт повернення реле РТ-40;

$k_c$  - коефіцієнт самозапуску, що враховує збільшення струму загальмованого рухового навантаження після відновлення напруги, приймаємо  $k_c = 2,5$ ;

$I_{\text{нагр.макс}}$  - максимальний струм навантаження, приймаємо рівним номінальному струму трансформатора.

$$I_{c.3} = \frac{1,2 \cdot 2,5 \cdot 126}{0,8} = 470,7 \text{ A.}$$

3. Коефіцієнт чутливості захисту визначаємо при двофазному металевому КЗ у мінімальному режимі:

$$k_u = \frac{I_{\text{к.мин}}^{(2)}}{I_{c.3}} = \frac{387}{470,7} = 0,822 < 1.$$

Оскільки чутливість МТЗ без пуску по напрузі виявляється недостатньою, застосуємо блокування по напрузі з боку НН трансформатора.

4. Струм спрацьовування МТЗ із пуском по напрузі відбудовує від номінального струму трансформатора  $I_{\text{ном}}$  на стороні, де встановлений захист:

							Аркуш
Зм.	Аркуш	№ докум.	Підпис	Дата		БР 5.6.14.1.655 ПЗ	69

$$I_{c.3} = \frac{k_3}{k_e} \cdot I_{nom} = \frac{1,2}{0,8} \cdot 1,0 \cdot 126 = 188,3 \text{ A.}$$

а чутливість захисту в тій же розрахунковій точці складе:

$$k_u = \frac{387}{188,3} = 2,055.$$

5. Напругу спрацьування пускового органу мінімальної напруги, виконаного у вигляді реле, включенного на міжфазну напругу, визначаємо приблизно за умовами відбудування від струмів самозапуску рухового навантаження при відновленні напруги:

$$U_{c.3} \leq \frac{U_{c.\min}}{k_e},$$

де  $k_e = 1,2$  - коефіцієнт повернення для реле мінімальної напруги;

$U_{c.\min}$  - мінімальна міжфазна напруга в умовах самозапуску при відновленні напруги, приймаємо  $U_{c.\min} = 0,7U_{nom}$ .

$$U_{c.3} = \frac{0,7 \cdot 110}{1,2} = 64,2 \text{ кВ.}$$

6. Напругу спрацьування пускового органу по зворотній послідовності комбінованого пуску по напрузі приймаємо рівною мінімальній уставці фільтр-реле:

$$U_{2c.3} = 0,06 \cdot U_{nom} = 0,06 \cdot 115 = 6,9 \text{ кВ.}$$

							Аркуш
Зм.	Аркуш	№ докум.	Підпис	Дата		БР 5.6.14.1.655 ПЗ	70

7. Чутливість блокувальних органів перевіряється при КЗ на прийомних сторонах трансформатора, куди й підключені блокувальні реле, тобто  $U_{\kappa.зах}^{(3)} = 0$ , а

$$U_{2\kappa.зах} = \frac{U_\phi}{2} = \frac{115}{2 \cdot \sqrt{3}} = 33,2 \text{ кВ.}$$

Тоді

$$k_{\kappa U} = \frac{U_{2\kappa.зах}}{U_{2c.3}} = \frac{33,2}{6,9} = 4,811 > 1,5.$$

Оскільки при КЗ на прийомній стороні трансформатора  $k_{\kappa} > 1,5$ , то диференціальний захист шини на цій стороні можна не встановлювати.

8. Струм спрацьовування захисту від симетричного перевантаження, що діє на сигнал, визначається за умовою відбудування від номінального струму трансформатора на стороні, де встановлений захист, по виразу

$$I_{c.3} = \frac{k_3}{k_e} \cdot I_{m.nom} = \frac{1,05}{0,8} \cdot 126 = 164,7 \text{ А.}$$

9. Витримка часу МТЗ узгоджується з витримкою часу захисту лінії на стороні НН.

							Аркуш
Зм.	Аркуш	№ докум.	Підпис	Дата		БР 5.6.14.1.655 ПЗ	71

## 4. РОЗРАХУНОК ЗОН ЗАХИСТУ СТРИЖНЕВИХ БЛІСКАВКОВІДВОДІВ ВРП

В роботі необхідно розрахувати висоту і зону захисту блискавковідводів ВРП-110 кВ, встановлених на двох порталах, рис. 4.1 (поз. 1 і 2), і двох блискавковідводів, що стоять окремо, зазначених на рис. 4.1 (поз. 3 і 4), вважаючи, що блискавковідводи розташовані симетрично по відношенню до вузької сторони ВРП. Надійність зони захисту від уражень блискавки  $P_3 = 0,999$ .

Накреслити горизонтальний перетин зони захисту блискавковідводів ВРП на висоті  $h_x$ .

Параметри розміщення блискавковідводів по площині ВРП наведені в табл. 4.1.

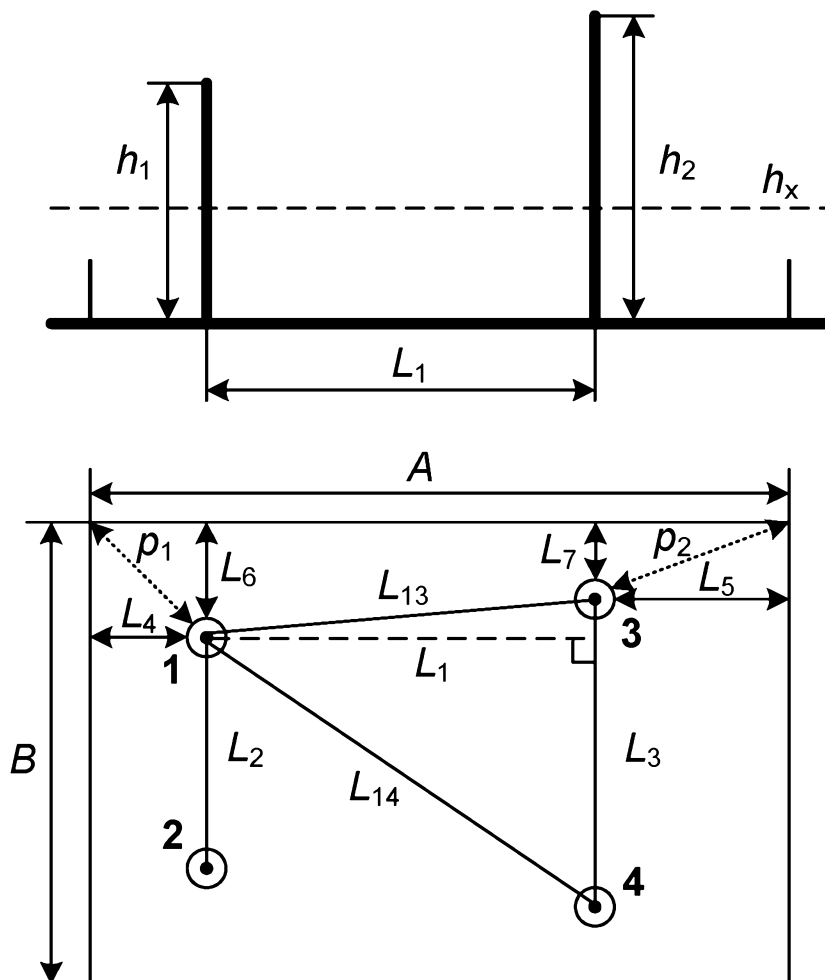


Рисунок 4.1 – Схема розміщення стрижневих блискавковідводів ВРП-110 кВ

Зм.	Аркуш	№ докум.	Підпис	Дата

Таблиця 4.1 – Розрахункові параметри

$A$ , м	$B$ , м	$L_1$ , м	$L_2$ , м	$L_3$ , м	$L_4$ , м	$L_5$ , м	$h_x$ , м
48	38	34	16	30	10	4	5

1. Визначаємо відстані  $L_6$  та  $L_7$ :

$$L_6 = \frac{B - L_2}{2} = \frac{38 - 16}{2} = 11 \text{ м};$$

$$L_7 = \frac{B - L_3}{2} = \frac{38 - 30}{2} = 4 \text{ м.}$$

2. Визначаємо відстані  $p_1$  та  $p_2$ :

$$p_1 = \sqrt{L_4^2 + L_6^2} = \sqrt{10^2 + 11^2} = 14,87 \text{ м};$$

$$p_2 = \sqrt{L_5^2 + L_7^2} = \sqrt{4^2 + 4^2} = 5,66 \text{ м.}$$

3. Зона захисту подвійного стрижневого блискавковідводу складається з зовнішніх областей зони захисту (напівконусів з габаритами  $h_0$ ,  $r_0$ ), що виконуються за формулами для одиничних стрижневих блискавковідводів. Розміри внутрішніх областей визначаються параметрами  $h_0$  і  $h_c$ , перший з яких задає максимальну висоту зони безпосередньо біля блискавковідводів, а другий – мінімальну висоту зони посередині між блискавковідводами.

Зона захисту одиничного стрижневого блискавковідводу висотою  $h \leq 30 \text{ м}$  при надійності захисту  $P_s = 0.999$ , визначається рівняннями:

$$\begin{cases} h_{0n} = 0,7h_n \\ r_{xn} = \frac{r_{0n} \cdot (h_{0n} - h_x)}{h_{0n}} \\ r_{0n} = 0,6 \cdot h_n \end{cases}.$$

Зм.	Аркуш	№ докум.	Підпис	Дата

Розраховуємо висоти блискавковідводів 1 та 2 виходячи з умови створення ними зони захисту на висоті  $h_x$  до кутів ВРП:

$$\begin{cases} h_{01} = 0,7h_l \\ r_{x1} = \frac{r_{01} \cdot (h_{01} - h_x)}{h_{01}}, \text{ при } r_{x1} = p_1 \\ r_{01} = 0,6 \cdot h_l \end{cases}$$

Шляхом математичних перетворень отримаємо рівняння відносно шуканої величини  $h_l$ :

$$p_1 = \frac{0,6h_l \cdot (0,7h_l - h_x)}{0,7h_l};$$

$$0,42h_l^2 - (0,7p_1 + 0,6h_x)h_l = 0;$$

$$h_l = 0; \quad h_l = 31,92 \text{ м.}$$

Висота блискавковідводів  $h_1 = h_2 = 31,92$  м, не задовольняє умові застосування рівнянь при  $h \leq 30$  м, тому для розрахунку висоти блискавковідводів застосовуємо наступні рівняння:

$$\begin{cases} h_{01} = [0,7 - 7,14 \cdot 10^{-4}(h - 30)]h_l; \\ r_{x1} = \frac{r_{01} \cdot (h_{01} - h_x)}{h_{01}}, \text{ при } r_{x1} = p_1. \\ r_{01} = [0,6 - 1,43 \cdot 10^{-3}(h - 30)]h_l; \end{cases}$$

Шляхом математичних перетворень розв'язуємо цю систему та знаходимо значення висоти 1 блискавковідводу  $h_1 = 32,06$  м, що задовольняє умові застосування рівнянь при  $30 < h \leq 100$  м.

Остаточно приймаємо блискавковідводи 1 та 2 висотою  $h_1 = h_2 = 32,06$  м.

Зм.	Аркуш	№ докум.	Підпис	Дата

Розраховуємо висоти блискавковідводів 3 та 4 виходячи з умови створення ними зони захисту на висоті  $h_x$  до кутів ВРП:

$$\begin{cases} h_{03} = 0,7h_3 \\ r_{x3} = \frac{r_{03} \cdot (h_{03} - h_x)}{h_{03}}, \text{ при } r_{x3} = p_2; \\ r_{03} = 0,6 \cdot h_3 \end{cases}$$

Шляхом математичних перетворень отримаємо рівняння відносно шуканої величини  $h_3$ :

$$p_2 = \frac{0,6h_3 \cdot (0,7h_3 - h_x)}{0,7h_3};$$

$$0,42h_3^2 - (0,7p_2 + 0,6h_x)h_3 = 0;$$

$$h_3 = 0; \quad h_3 = 16,57 \text{ м.}$$

Остаточно приймаємо блискавковідводи 3 та 4 висотою  $h_3 = h_4 = 16,57 \text{ м}$ , так як вона задовільняє умові застосування рівнянь при  $h \leq 30 \text{ м}$ .

4. Розраховуємо параметри зони захисту блискавковідводів 1 та 2:

$$L_{12} = L_2 = 16 \text{ м};$$

$$r_{01} = r_{02} = 0,6 \cdot h_l = 19,14 \text{ м};$$

$$h_{01} = h_{02} = 0,7 \cdot h_l = 22,39 \text{ м};$$

$$r_{x1} = r_{x2} = \frac{r_{01} \cdot (h_{01} - h_x)}{h_{01}} = 14,87 \text{ м};$$

$$L_{c12} = [2,25 - 0,01007(h_l - 30)]h_l = 71,47 \text{ м};$$

$$L_{\max 12} = [4,25 - 3,57 \cdot 10^{-3}(h_l - 30)]h_l = 136,02 \text{ м};$$

Зм.	Аркуш	№ докум.	Підпис	Дата

$$\begin{cases} h_{c12} = h_{01} = 22.39 \text{ м}, & L_{12} \leq L_{c12} \\ r_{cx12} = \frac{r_{01}(h_{c12} - h_x)}{h_{c12}} = 14.87 \text{ м}, & h_x < h_{c12} \end{cases}$$

5. Розраховуємо параметри зони захисту блискавковідводів 3 та 4:

$$L_{34} = L_3 = 30 \text{ м};$$

$$r_{03} = r_{04} = 0,6 \cdot h_3 = 9,94 \text{ м};$$

$$h_{03} = h_{04} = 0,7 \cdot h_3 = 11,6 \text{ м};$$

$$r_{x3} = r_{x4} = \frac{r_{03} \cdot (h_{03} - h_x)}{h_{03}} = 5,66 \text{ м};$$

$$L_{c34} = 2,25 \cdot h_3 = 37,28 \text{ м};$$

$$L_{\max 34} = 4,25 \cdot h_3 = 70,42 \text{ м};$$

$$\begin{cases} h_{c34} = h_{03} = 11,6 \text{ м}, & L_{34} < L_{c34} \\ r_{cx34} = \frac{r_{03}(h_{c34} - h_x)}{h_{c34}} = 5,66 \text{ м}, & h_x < h_{c34} \end{cases}$$

6. Розраховуємо параметри зони захисту блискавковідводів 1 та 3 (2 та 4):

$$L_{13} = \sqrt{(L_1)^2 + \left( \frac{L_3 - L_2}{2} \right)^2} = 34,71 \text{ м};$$

6.1 Блискавковідводи 1 та 3 мають висоту  $h_l = 32,06 \text{ м}$

$$L_{c13} = 2,25 \cdot h_l = 71,47 \text{ м};$$

$$L_{\max 13} = 4,25 \cdot h_l = 136,02 \text{ м};$$

$$h_{c13} = h_{01} = 22.39 \text{ м}, \quad L_{13} \leq L_{c13}$$

Зм.	Аркуш	№ докум.	Підпис	Дата

6.2 Блискавковідводи 1 та 3 мають висоту  $h_3 = 16,57$  м

$$L_{c31} = 2,25 \cdot h_3 = 37,28 \text{ м};$$

$$L_{\max 31} = 4,25 \cdot h_3 = 70,42 \text{ м};$$

$$h_{c31} = h_{03} = 11.6 \text{ м}, \quad L_{13} \leq L_{c31}$$

$$\begin{cases} h_{c\min 13} = \frac{h_{c13} + h_{c31}}{2} = 17.0 \text{ м}, \\ r_{c013} = \frac{r_{01} + r_{03}}{2} = 14.54 \text{ м}, \\ r_{cx13} = \frac{r_{c013}(h_{c\min 13} - h_x)}{h_{c\min 13}} = 10.26 \text{ м}. \end{cases}$$

7. Розраховуємо параметри зони захисту блискавковідводів 1 та 4 (2 та 3):

$$L_{14} = \sqrt{(L_1)^2 + \left( L_2 + \frac{L_3 - L_2}{2} \right)^2} = 41.05 \text{ м};$$

7.1 Блискавковідводи 1 та 4 мають висоту  $h_1 = 32,06$  м

$$L_{c14} = 2,25 \cdot h_1 = 71,47 \text{ м};$$

$$L_{\max 14} = 4,25 \cdot h_1 = 136,02 \text{ м};$$

$$h_{c14} = h_{01} = 22.39 \text{ м}, \quad L_{14} \leq L_{c14}$$

7.2 Блискавковідводи 1 та 4 мають висоту  $h_4 = 16,57$  м

$$L_{c41} = 2,25 \cdot h_4 = 37,28 \text{ м};$$

$$L_{\max 41} = 4,25 \cdot h_4 = 70,42 \text{ м};$$

$$h_{c41} = \frac{(L_{\max 41} - L_{14})h_{04}}{L_{\max 41} - L_{c41}} = 10.28 \text{ м}, \quad L_{c41} < L_{14} < L_{\max 41}$$

Зм.	Аркуш	№ докум.	Підпис	Дата	Аркуш
					БР 5.6.14.1.655 П3

$$\begin{cases} h_{c\min 14} = \frac{h_{c14} + h_{c41}}{2} = 16.34 \text{ м}, \\ r_{c014} = \frac{r_{01} + r_{04}}{2} = 14.54 \text{ м}, \\ r_{cx14} = \frac{r_{c014}(h_{c\min 14} - h_x)}{h_{c\min 14}} = 10.09 \text{ м}. \end{cases}$$

Горизонтальний переріз зони захисту показаний на рис. 4.2.

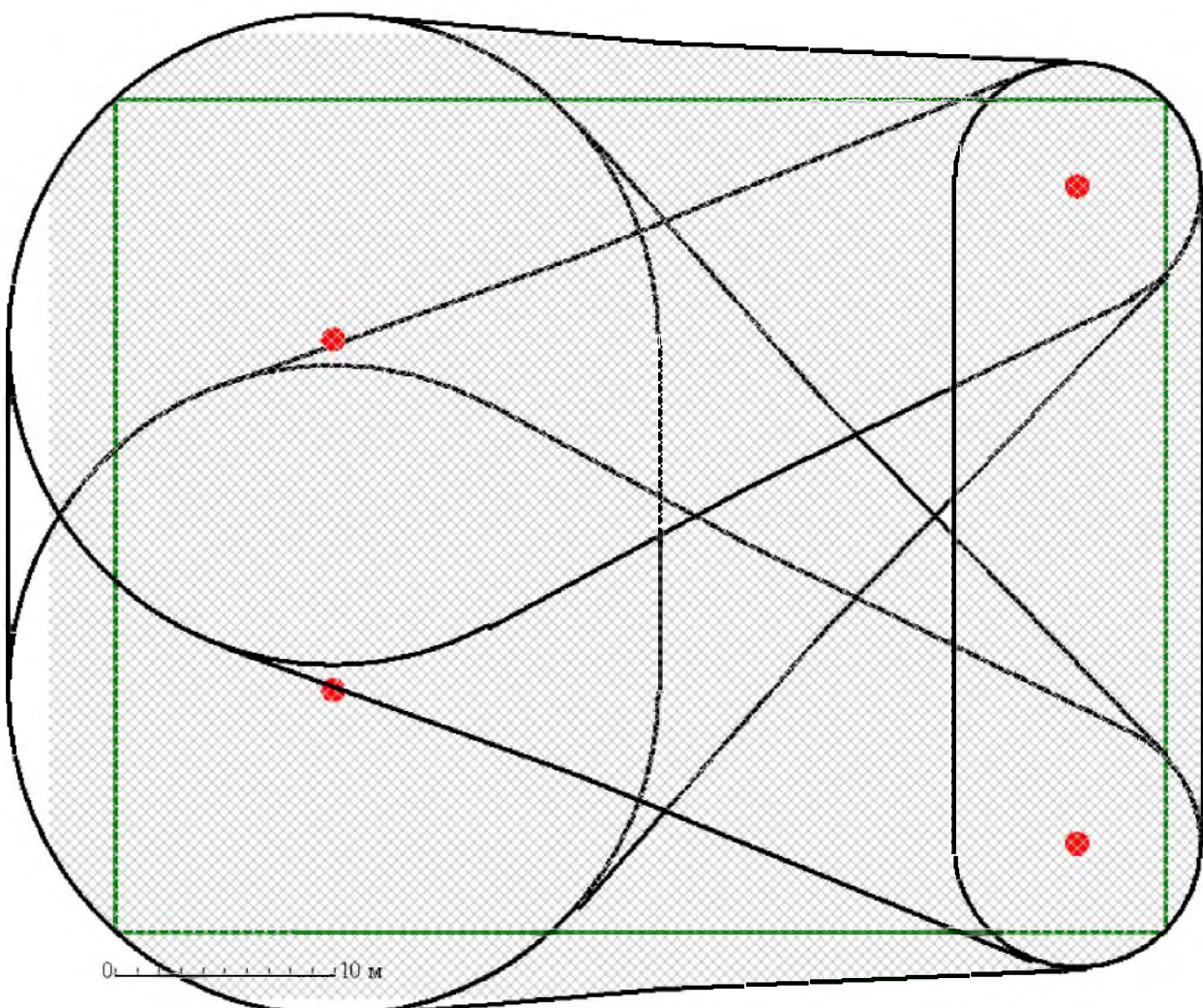


Рисунок 4.2 – Горизонтальний переріз зони захисту блискавковідводів ВРП

Зм.	Аркуш	№ докум.	Підпис	Дата

## ВІСНОВКИ

У бакалаврській роботі зроблений розрахунок нормального режиму роботи замкнутої електричної мережі, конфігурація якої була визначена завданням.

Результати розрахунків втрат потужності показали, що найбільш придатною номінальною напругою кільцевої мережі є напруга 110 кВ. З урахуванням цього були обрані відповідні перерізи проводів для ліній електропередач, а також типи трансформаторів на підстанціях.

Для існуючої конфігурації замкнутої мережі були розраховані параметри схеми заміщення ліній і трансформаторів, складена розрахункова схема заміщення мережі й визначені розрахункові навантаження вузлів мережі.

У процесі розрахунків електричної частини підстанції ПС-2 була проведена перевірка правильності вибору номінальної потужності встановлених трансформаторів і здійснений вибір на підставі на підставі розрахунків струмів короткого замикання високовольтних апаратів РП, вимірювальних трансформаторів струму й напруги.

При виконанні розрахунків релейного захисту трансформатора підстанції ПС-2 був зроблений розрахунок поздовжнього диференційного струмового захисту та максимального струмового захисту з комбінованим пуском по напрузі.

Для захисту від міжфазних коротких замикань запропонований захист за допомогою реле типу ДЗТ-11, для якого був виконаний вибір уставок і розрахунок параметрів обмоток реле.

Проведений розрахунок блискавкозахисту підстанції, що виконаний у вигляді 4-х стрижневих блискавковідводів.

Зм.	Аркуш	№ докум.	Підпис	Дата	БР 5.6.14 1.655 ПЗ	Аркуш
						79

## СПИСОК ЛІТЕРАТУРИ

1. Идельчик В.И. Электрические системы и сети. – Москва: Энергоатомиздат, 1989. – 592 с.
2. Справочник по проектированию электроэнергетических систем / под ред. И. М. Шапиро, С. С. Рокотяна. – Москва: Энергоатомиздат, 1986.
3. Технические сведения. Силовые трансформаторы / Под ред. И.Л. Лебединского. – Сумы: Изд-во СумДУ, 2005. – 49 с.
4. Электротехнический справочник: В 3-х т. Т. 3. Кн. 1. Производство, передача и распределение электрической энергии / Под общ. ред. В.Г. Герасимова, П.Г. Грудинского, Л.А. Жукова и др. - 6-е изд. – М.: Энергоиздат, 1988. – 656 с.
5. Васильев А.А. Электрическая часть станций и подстанций. – М.: Энергия, 1980. – 608 с.
6. Методичні вказівки до виконання курсового проекту на тему „Розрахунок замкнутої електричної мережі” з курсу „Електричні системи та мережі” / укладачі: І.Л. Лебединський, С.М. Лебедка, В.І. Романовський, В.В. Волохін. – Суми: Сумський державний університет, 2011. – 40 с.
7. Неклепаев Б.Н. Электрическая часть электростанций и подстанций. – М.: Энергоатомиздат, 1986. - 640 с.
8. Рожкова Л.Д., Козулин В.С. Электрооборудование станций и подстанций. - 3-е изд. – М.: Энергоатомиздат, 1987. – 648 с.
9. Правила узахтування електроустановок (ПУЕ). Харків: Видавництво «Форт», 2014. – 793 с.
10. Электрическая часть станций и подстанций: Учеб. для вузов / А.А. Васильев, И.П. Крючков, Е.В. Наяшкова и др. Под ред. А.А. Васильева. - 2-е изд., перераб. и доп. – М: Энергоатомиздат, 1990.

Зм.	Аркуш	№ докум.	Підпис	Дата	БР 5.6.14 1.655 ПЗ	Аркуш
80						

11. Шабад М.А. Расчеты релейной защиты и автоматики распределительных сетей. -М.: Энергоатомиздат, 1985.

12. Учебное пособие для студентов, обучающихся по направлению «Электротехника», по курсу «Основы релейной защиты электрических систем». Часть III. Расчет защит трансформаторов и автотрансформаторов. Мариуполь: ПГТУ, 2001.

13. Техника высоких напряжений / Под ред. Г.С. Кучинского. – СПб.: Энергоатомиздат, 2003.

14. Методичні вказівки та завдання до розрахунково-графічних робіт з курсу «Грозозахист і перенапруга у електричних мережах» / укладач М.В. Петровський. – Суми: Сумський державний університет, 2011. – 40 с.

15. ДСТУ Б В.2.5-38:2008 Улаштування блискавкозахисту будівель і споруд. – Київ: Мінрегіонбуд України. – 2008.

16. 2068 Методичні вказівки до оформлення дипломних робіт: для студ. спец. 7.090603 денної та заочної форм навчання / М.А. Никифоров, І.Л. Лебединський. – Суми: СумДУ, 2008. – 72 с.

Зм.	Аркуш	№ докум.	Підпис	Дата

БР 5.6.141.655 ПЗ

Аркуш

81